

Zeitschrift:	Eclogae Geologicae Helvetiae
Herausgeber:	Schweizerische Geologische Gesellschaft
Band:	90 (1997)
Heft:	2
Artikel:	Der "Dogger " (oberes Aalénien) in den Bohrungen Herdern-1, Berlingen-1 und Kreuzlingen-1 (Nordostschweiz) und seine Beziehung zu den gleichaltrigen Schichten im Nordjura
Autor:	Burkhalter, Reto M. / Bläsi, Hans-Rudolf / Feist-Burkhardt, Susanne
DOI:	https://doi.org/10.5169/seals-168159

Nutzungsbedingungen

Die ETH-Bibliothek ist die Anbieterin der digitalisierten Zeitschriften auf E-Periodica. Sie besitzt keine Urheberrechte an den Zeitschriften und ist nicht verantwortlich für deren Inhalte. Die Rechte liegen in der Regel bei den Herausgebern beziehungsweise den externen Rechteinhabern. Das Veröffentlichen von Bildern in Print- und Online-Publikationen sowie auf Social Media-Kanälen oder Webseiten ist nur mit vorheriger Genehmigung der Rechteinhaber erlaubt. [Mehr erfahren](#)

Conditions d'utilisation

L'ETH Library est le fournisseur des revues numérisées. Elle ne détient aucun droit d'auteur sur les revues et n'est pas responsable de leur contenu. En règle générale, les droits sont détenus par les éditeurs ou les détenteurs de droits externes. La reproduction d'images dans des publications imprimées ou en ligne ainsi que sur des canaux de médias sociaux ou des sites web n'est autorisée qu'avec l'accord préalable des détenteurs des droits. [En savoir plus](#)

Terms of use

The ETH Library is the provider of the digitised journals. It does not own any copyrights to the journals and is not responsible for their content. The rights usually lie with the publishers or the external rights holders. Publishing images in print and online publications, as well as on social media channels or websites, is only permitted with the prior consent of the rights holders. [Find out more](#)

Download PDF: 28.01.2026

ETH-Bibliothek Zürich, E-Periodica, <https://www.e-periodica.ch>

Der «Dogger β» (oberes Aalénien) in den Bohrungen Herdern-1, Berlingen-1 und Kreuzlingen-1 (Nordostschweiz) und seine Beziehung zu den gleichaltrigen Schichten im Nordjura

RETO M. BURKHALTER^{1,2}, HANS-RUDOLF BLÄSI¹ & SUSANNE FEIST-BURKHARDT³

Key words: «Dogger β», Aalenian, northern Switzerland, facies, palynostratigraphy, sequence stratigraphy, sedimentation rates, isopach map

ZUSAMMENFASSUNG

Die lithostratigraphische Einheit «Dogger β» (oberes Aalénien) der Bohrungen Herdern-1, Berlingen-1 und Kreuzlingen-1 (Kanton Thurgau, Nordostschweiz) besteht aus einer unterschiedlichen Anzahl von «shallowing upward»-Parasenquenzen aus Ton- und Sandstein, wobei jedes Sandsteinintervall einen geringmächtigen Sedimentkörper («offshore bar» oder Sanddecke) repräsentiert. Im Dach jeder Parasequenz, z.T. auch innerhalb derselben, treten Aufarbeitungshorizonte auf, die während kurzfristiger Omissionsphasen gebildet wurden. Die durchschnittliche Sedimentationsrate der «Dogger-β»-Parasenquenzen lag zwischen 17 und 23 m/Ma. Die palynologische Analyse zeigt einen deutlichen terrigenen Einfluss aus Richtung E bis NE; aufgearbeitete Pollen und Sporen weisen zudem auf die Erosion von karbonischen und triassisches Gesteinen im Liefergebiet hin.

Die palynostratigraphische Datierung weist die «Dogger-β»-Sedimente in die Opalinum- bis Murchisonae-Zone. Die Untergrenze wird nach sequenzstratigraphischen Kriterien definiert; sie liegt in der Comptum-Subzone (obere Opalinum-Zone). Die Concavum-Zone (oberstes Aalénien) konnte in keiner der drei Bohrungen nachgewiesen werden. Sie dürfte zusammen mit unterschiedlichen Anteilen des unteren Bajociens im Kondensationshorizont im Hangenden des «Dogger β» enthalten sein. Zusammen mit der variablen Anzahl von «Dogger-β»-Parasenquenzen, die jeweils auch chronostratigraphische Einheiten darstellen, bedeutet dies, dass der Zeitschnitt zwischen spätem Aalénien und frühem Bajocien, wie fast überall in der Nordschweiz, nur zum kleinen Teil durch nicht kondensiertes Sediment überliefert ist.

Die regionale Isopachenkarte der «Dogger-β»-Sedimente und ihrer lateralen Äquivalente zeigt eine SW-NE-orientierte Hochzone mit geringmächtigen Ablagerungen, die sich vom Berner Jura zum Südschwarzwald erstreckt. Sie ist von Depotzentren umrahmt, in denen vorwiegend Sand zur Ablagerung kam. Ein weiteres Depotzentrum mit vorwiegender Sandsedimentation erstreckt sich vom Bodenseegebiet Richtung NE (Schwäbisches Becken). Als Sedimentquellen dürften sowohl der Vindelizische Rücken als auch die Rhei-nische Masse in Frage kommen.

ABSTRACT

The lithostratigraphic unit «Dogger β» (upper Aalenian) of the Herdern-1, Berlingen-1 and Kreuzlingen-1 boreholes (northeastern Switzerland) is composed of a varying number of shallowing-upward claystone-sandstone parasequences. Each sandstone interval represents a thin sediment body (offshore bar or sand sheet). The parasequences are capped by reworked horizons, which were formed during short phases of non-deposition. In some instances reworked horizons also occur within a parasequence. The average sedimentation rate of «Dogger β» parasequences was 17 to 23 m/Ma. Palynological analysis revealed a marked terrigenous influence from a (north-)easterly direction; additionally, reworked pollen and spores point to erosion of Carboniferous and Triassic sedimentary rocks in the hinterland.

The «Dogger β» sediments were dated as Opalinum to Murchisonae zones using palynostratigraphy. Their lower boundary, defined on a sequence-stratigraphic basis, is situated within the Comptum subzone (upper Opalinum zone). The Concavum zone (uppermost Aalenian) could not be identified in any of the three cores. It is thought to be contained, together with variable portions of the lower Bajocian, in a condensed section overlying the «Dogger β». This condensed section and the varying number of «Dogger β» parasequences, each of which is a chronostratigraphic unit, mean that the non-condensed stratigraphic record of the late Aalenian and earliest Bajocian is very incomplete, a feature that can be observed throughout most of northern Switzerland.

The regional isopach map of the «Dogger β» and its lateral equivalents depicts a SW-NE-oriented high, thinly covered with sediment, extending from the Bernese Jura to the southern Black Forest. It is surrounded by depocenters where mainly sand was deposited. A further sandy depocenter extends from the Lake Constance area to the NE (Swabian Basin). Sediment is interpreted to originate both from the Vindelician High and the Rhenish Massif.

1. Einleitung

Die Ausbisslinie der Einheiten mit Aalénien-Alter verläuft zwischen dem Ostende des Juras und dem Randengebiet mehr oder weniger geradlinig und ist weitgehend von Quartärablagerungen bedeckt. Die spärlichen Oberflächenaufschlüsse vermitteln deshalb nur ein lückenhaftes und auf einen schmalen

Geländestreifen beschränktes Bild von Fazies und Stratigraphie dieser Schichten. Dank der Tiefbohrungen der SEAG (Aktiengesellschaft für Schweiz. Erdöl) und der Nagra (Nationale Genossenschaft für die Lagerung radioaktiver Abfälle) in den Kantonen Thurgau und Zürich ist es jedoch möglich, ihre räumliche Entwicklung in diesem Gebiet zu erfassen.

1 Geologisches Institut, Universität Bern, CH-3012 Bern

2 Landeshydrologie und -geologie, CH-3003 Bern

3 Geologisch-Paläontologisches Institut, Technische Hochschule Darmstadt, D-64287 Darmstadt

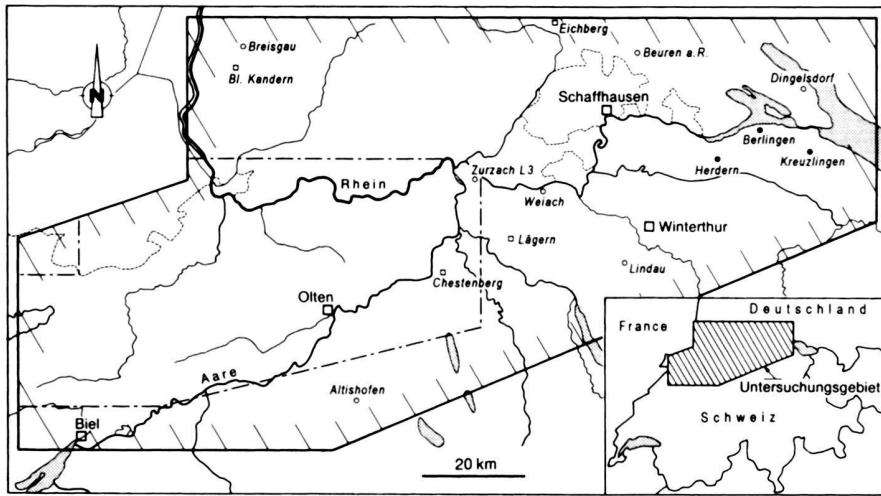


Fig. 1. Lage der drei untersuchten Bohrungen (schwarze Punkte) sowie des erweiterten Untersuchungsgebietes (schraffierter Rand) mit den für die Konstruktion der Isopachenkarte (Fig. 11) verwendeten Bohrungen (Kreise) und Oberflächenaufschlüsse (Quadrate). Siehe Burkhalter (1996) für die innerhalb des strichpunktiert umrandeten Gebietes liegenden Datenpunkte.

Die vorliegende Arbeit fasst Teilergebnisse eines Forschungsprojektes am Geologischen Institut der Universität Bern zusammen. Der «Dogger β» der drei Bohrungen Herdern-1, Berlingen-1 und Kreuzlingen-1 (Fig. 1, Tab. 1) wird detailliert beschrieben und mittels Palynomorphen biostratigraphisch datiert. Zusammen mit Literaturdaten aus weiteren nordostschweizerischen und süddeutschen Bohrungen sowie den Resultaten der stratigraphischen Neubearbeitung seines Äquivalents im nördlichen Schweizer Jura (Burkhalter 1993) folgt im abschliessenden Kapitel ein Beitrag zur Rekonstruktion der Paläogeographie des Gebietes zwischen Ajoie und Bodensee während des späten Aaléniens.

2. Definition des Dogger β, Synonyme

Der Name Dogger β ist eigentlich eine Mischung aus der in Süddeutschland verwendeten Quenstedt-Nomenklatur (Brauner Jura bzw. Braunjura α bis ζ) und der in Mitteleuropa verbreiteteren, auf Oppel zurückgehenden Gliederung des Jura-Systems (Lias, Dogger, Malm).

Im chronostratigraphischen Sinn entspricht der Dogger β dem oberen Teil des Aaléniens. Er umfasst die Comptum-Subzone (oberste Subzone der Opalinum-Zone), die Murchisonae-Zone und die Concavum-Zone (Tab. 2; s. a. Burkhalter 1996).

Die lithostratigraphische Einheit «Dogger β» hat regional unterschiedliche Bezeichnungen: «Eisensandstein» in der Ostalb und im deutschen Alpenvorland, «Ludwigenton» in der Westalb, «Murchisonae-Oolith» (inkl. Concavum-Zone) im südlichen Oberrheingraben (Geol. Landesamt Baden-Württemberg 1995) und «Murchisonae-Concava-Schichten» (Bläsi 1987) im Schweizer Jura. Weitere Synonyme sowie Untereinheiten sind u.a. in Weber (1964), Geyer & Gwinner (1986), Geol. Landesamt Baden-Württemberg (1995) und Burkhalter (1996) aufgeführt. Die Murchisonae-Concava-

Tab. 1. Lage der Bohrungen und Teufe der untersuchten Kernabschnitte.

Bohrung	Jahr	Koordinaten	Kote OKT [m ü. M.]	Basis Dogger β Teufe [m]	Top Dogger β Teufe [m]	Mächtigkeit Dogger β [m]
Kreuzlingen-1	1962	729.201 / 276.169	538	2173,31	2150,40	22,91
Berlingen-1	1964	719.685 / 280.195	593	1909,96	1885,85	24,11
Herdern-1	1981/82	711.308 / 274.597	527	1726,85	1711,59	15,26

Tab. 2. Stratigraphische Stellung und Gliederung des untersuchten Intervalls.

Passwang-Alloformation (p.p.)	Gliederung Nordjura (neu)	Gliederung Nordjura (alt) und angrenzende Gebiete	Quenstedt-Gliederung (S-Deutschland, NE-Schweiz)	Biozonen -subzonen		Stufen unteres Bajocien (p.p.)
				Sauzei	Laeviuscula	
Hirnichopf-Sch.		Sowerbyi-Schichten	Dogger γ (Braunjura γ)	Discites		
Hauenstein-Schichten				Concavum		
Sissach-Schichten	Murchisonae-Concava-Schichten		Dogger β (Braunjura β)	Murchisonae		
Opalinus-Ton			Dogger/Braunjura α	Complum		Aalénien
				Opalinum		

Schichten wurden als allostratigraphische Einheit neu definiert und in Sissach-Schichten und Hauenstein-Schichten (Untereinheiten der Passwang-Alloformation) umbenannt (Burkhalter 1996). Die Sissach-Schichten entsprechen den Murchisonae-Schichten s. str., die Hauenstein-Schichten den Concava- bzw. Concavum-Schichten.

Der Einfachheit halber wird für die untersuchte stratigraphische Einheit der bereits von Büchi et al. (1965) verwendete

Name «Dogger β» beibehalten, zumal die schwäbische Fazies vorliegt. Eine Benennung der einzelnen Sandsteinabschnitte wie in den Bohrungen nordöstlich des Bodensees (Schneider 1962, s. a. Weber 1964) wird wegen der lateralen Variabilität der Schichten und der grossen Korrelationsdistanzen nicht vorgenommen. Da im «Dogger β» der drei Bohrungen die Concavum-Zone fehlt oder stark kondensiert ist (Kap. 7.4), wird der Name dort in Anführungszeichen gesetzt, wo er im lithostratigraphischen Sinn, d.h. für die nichtkondensierten Ablagerungen aus der Dogger-β-Zeit, verwendet wird.

3. Bisherige Arbeiten im Gebiet der Nordostschweiz

Erdöl- und Erdgasfunde im süddeutschen Molassebecken und dessen mesozoischem Untergrund (Geyer & Gwinner 1986) veranlassten Ende der fünfziger, anfangs der sechziger Jahre die SEAG zur Durchführung einer Explorationskampagne im schweizerischen Mittelland (Hauber 1961, Büchi 1971). In diesem Rahmen wurden 1962 und 1964 in der Nordostschweiz die Bohrungen Kreuzlingen, Berlingen und Lindau abgeteuft; in letzterer wurde der «Dogger β» nicht gekernt. Büchi et al. (1965) parallelisierten die Fazies des «Dogger β» in Berlingen und Kreuzlingen mit derjenigen auf deutscher Seite des Bodensees (Schneider 1962) und bestätigten damit die Hypothese Trümpys (1959) zur Ausbildung des oberen Aaléniens im Untergrund des schweizerischen Molassebeckens.

1981/82 wurde die Bohrung Herdern in einer weiteren Prospektionsphase der SEAG abgeteuft (Büchi 1982). Stratigraphische Ergebnisse wurden damals keine veröffentlicht.

Als Teil des Untersuchungsprogrammes der Nagra zur Standortwahl einesendlagers wurde 1983 die Bohrung Weiach abgeteuft (Matter et al. 1988a). Bläsi (1987) fasste die den Dogger, insbesondere den Opalinus-Ton und das obere Aalénien betreffenden Resultate der drei Nagra-Bohrungen Weiach, Schafisheim und Riniken zusammen und korrelierte die Bohrprofile mit Profilen im Aargauer Jura und im Randengebiet.

4. Untersuchungsmethoden

- Die untersuchten Kernabschnitte wurden detailliert aufgenommen und mikrofaziell analysiert. Die mittlere Korngrösse des siliziklastischen Detritus (Korngrössen > 20 µm) wurde durch Auszählen von 150–200 Körnern pro Schliff bestimmt.
- Die Lithologie fehlender Kernabschnitte wurde mit Hilfe der petrophysikalischen Logs (Gamma Ray, Sonic und elektrischer Widerstand) interpretiert.
- Aus den bearbeiteten Intervallen der drei Bohrungen wurden 21 Proben palynostratigraphisch datiert und Ammoniten-Zonen zugeordnet. Die palynologische Aufbereitung der Proben erfolgte nach der üblichen Präparationsmethode mit HCl, HF und Schweretrennung. Der Rückstand wurde bei einer Maschenweite von 15 µm gesiebt und anschliessend mit HNO₃ oxidiert.

5. Fazies

5.1 Einleitung

Der «Dogger β» der drei Bohrungen Herdern, Berlingen und Kreuzlingen besteht aus «shallowing upward»-Parasequenzen, die generell aus der Abfolge Tonstein – sandflaseriger Tonstein – tonflaseriger Sandstein bestehen. Im Dach und teilweise auch innerhalb der Parasequenzen treten intraklastenreiche, z.T. eisenoolithische Aufarbeitungshorizonte auf.

In der vorliegenden Arbeit wird der Begriff Parasequenz etwas weiter gefasst als von Van Wagoner et al. (1988, 1990) definiert; er umfasst sowohl Parasequenzen s. str. als auch «fourth-order sequences» (Van Wagoner et al. 1990) bzw. «high-frequency sequences» (Mitchum & Van Wagoner 1991) und bezieht sich auf sedimentäre Zyklen, die durch Meerespiegelschwankungen 4. und 5. Ordnung (ca. 0,5–1 bzw. 0,02–0,1 Ma; Quellenangaben in Burkhalter 1993, s. a. Miall 1997) verursacht wurden. Für weiter gehende Erläuterungen sei auf Burkhalter (1996), für Synonyme des Begriffs u. a. auf Homewood et al. (1992) verwiesen.

5.2 Beschreibung

5.2.1 Tonsteine

Schwarzgraue, siltige bis feinsandige Tonsteine («mudstones»), selten leicht biotrittus- und glimmerhaltig, mit vereinzelten hellgrauen, mm- bis cm-dicken Grobsilt- und Feinsandsteinlinsen und -laminae. Im Hangenden des «Dogger β» z. T. etwas mergelig. Schwach verwöhlt. Wenige lagige, unscharf begrenzte sideritische Areale sowie kleine Pyritkonkretionen. Mittlere Korngrösse des terrigenen Quarzes: ca. 50–75 µm.

5.2.2 Sandflaserige Tonsteine

Diese Fazies (Fig. 2), auch «Sandflaserschichten» genannt (Werner 1959), zeigt einen fliessenden Übergang aus den Tonsteinen bzw. in die tonflaserigen Sandsteine; eine genaue Abgrenzung ist deshalb nicht möglich. Gegenüber den Tonsteinen ist der Silt- bzw. Feinsandgehalt erhöht, sowohl durch diffuse Verteilung in toniger Matrix als auch durch nach oben häufigeres Auftreten und grössere Dicke von Einschlüpfungen in Form von Linsen und Schmitzen («Linsen-» und «Flaserschichtung», z. B. Rogowski 1971). Bei einem Grossteil davon handelt es sich um Wühlgangfüllungen oder durch Verwöhltung und differentielle Kompaktion zwischen ton- und sandreichem Sediment deformierte primäre Strukturen. Klar identifizierbare primäre Sedimentstrukturen wie Rippeln, ebene Feinschichtung im mm-Bereich oder gradiente Lagen sind eher selten. Die Bioturbation ist mässig stark; schwach verwöhlt und völlig bioturbierte Lagen wechseln sich ab. Von den Ichnofossilien konnten *Thalassinoides* isp., «*Cylindrichnus*» isp. sensu Fürsich (s. Uchman & Krenmayr 1995) und *Chondrites* isp. identifiziert werden. Vereinzelt treten z. T. unscharf begrenzte Sideritkonkretionen von bis zu 5 cm Durchmesser, seltener kleine Pyritkonkretionen auf.



Fig. 2. Sandflaseriger Tonstein mit zahlreichen Exemplaren von ?«*Cylindrichnus*» isp. (C). Links oben *Thalassinoides* isp. (T) mit Pyritkonkretion. Bohrung Herdern-1, 1726,02 m. Gesägte Probe.

5.2.3 Tonflaserige Sandsteine

Hellgraue, schwach kalkige bis kalkfreie, mehr oder weniger tondurchsetzte Feinsandsteine (Fig. 3). Der Feinsand, dessen mittlere Korngrösse zwischen ca. 75 und 125 µm variiert und nach oben zunimmt, ist sehr gut sortiert. Im cm- bis dm-Bereich lässt sich eine unregelmässige, durch Bioturbation verwischte Wechsellegerung von tonreicherem und -ärmerem Sediment erkennen. Prägendes Merkmal der Sandsteine ist ihre starke Durchwühlung. Im Gegensatz zu den sandflaserigen Tonsteinen ist die vertikale Verteilung der Bioturbation homogen. An Ichnofossilien treten auf: *Thalassinoides* isp. mit einem Durchmesser der Gänge bis zu 3 cm, «*Cylindrichnus*» isp., *Phycosiphon* isp. (s. Wetzel & Bromley 1994), *Chondrites* isp., seltene Exemplare von *Rosselia socialis* DAHMER (schriftl. Mitt. A. Wetzel, Basel) sowie einige nicht näher bestimmte Wühlspuren. Die folgenden primären Sedimentstrukturen sind zu finden: oft gradierte, mm- bis cm-dicke Feinsandsteinlagen, z. T. mit scharfer Basis, daneben selten kleine Strömungs- und Wellenrippeln und isolierte, cm-dicke, auf kurze Distanz auskeilende Feinsandsteinlinsen ohne diagnostische Internstruktur. Abschnittsweise kommen zahlreiche diffus begrenzte, lage- oder rundliche Siderit- sowie vereinzelte Pyritkonkretionen vor.

Aufgrund ihrer Zusammensetzung lassen sich die Sandsteine nach Folk (1974) als Subarkosen bezeichnen. Ihre klastischen Komponenten setzen sich grösstenteils aus monokristallinen Quarzen zusammen, Feldspäte (vorwiegend K-Fsp.) und

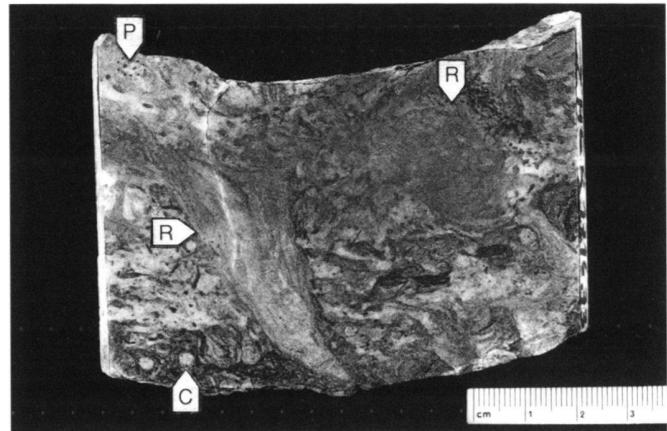


Fig. 3. Tonflaseriger Sandstein mit zwei Exemplaren von *Rosselia socialis* DAHMER (R). Daneben *Phycosiphon* isp. (P), «*Cylindrichnus*» isp. (C) und *Chondrites* isp. Bohrung Herdern-1, 1716,73 m. Gesägte Probe.

Gesteinsbruchstücke sind dagegen nur untergeordnet vorhanden. Polykristalline Quarze bilden den Hauptanteil der Gesteinsbruchstücke; daneben finden sich untergeordnet auch Metamorphite, Sand- und Tonsteinklasten, saure Vulkanite und Karbonatklasten. Zusätzlich treten detritischer Muskovit und Biotit in geringer Menge auf. Als Schwerminerale sind Turmalin, Zirkon sowie vereinzelt Anatas und nicht identifizierte opake Klasten vorhanden. Die Matrix ist sehr inhomogen; sie besteht aus eisenkalzitischem Pseudosparit und z. T. Ankerit und schlierig verteilten tonigen Lagen (Illit, Illit/Smeccit, Chlorit, Kaolinit in stark wechselnder Zusammensetzung) (s. Burkhalter & Hartmann 1994).

5.2.4 Aufarbeitungshorizonte

Die Fazies der Aufarbeitungshorizonte ist mit derjenigen der «Konglomeratlagen» und «konglomeratischen Dachbänke» in der östlichen Schwäbischen Alb (z.B. Werner 1959, Weber 1964) vergleichbar. Es handelt sich um durchschnittlich 10–15 cm mächtige Bänke mit wechselndem Gehalt an matrixgestützten, cm-grossen Lithoklasten in einer mehr oder weniger kalkigen oder tonigen, partiell siderisierten Grundmasse.

Nebst den meist vorherrschenden Lithoklasten treten in der Grundmasse variable Anteile von Silt bzw. Feinsand, chamositische oder durch Fe-Kalzit ersetzte Eisenooide sowie meist feiner Biodetritus auf (Bruchstücke von z. T. angebohrten Bivalven, Echinodermen, benthische Foraminiferen und Gastropoden, selten Ammoniten, Serpuliden, Bryozoen sowie Schwammbruchstücke). Der Biodetritus ist im allgemeinen kaum abradiert.

Die Lithoklasten sind meist gut bis sehr gut gerundet, vorwiegend sphärisch bis scheibenförmig und haben eine mittlere Korngrösse um 1 cm; der grösste beobachtete Klast misst 9 cm (Tab. 3). Sie bestehen zum weitaus grössten Teil aus kalkig gebundenen Sandsteinen. Weniger häufig sind biodetritusführende oder matrixreiche Sandkalke und Mikrite. Selten treten

Tab. 3. Die Aufarbeitungshorizonte in den untersuchten Kernabschnitten. *KH* = Kondensationshorizont, *OD*, *RD* = Omissions-, Regressionsdiskontinuität. «Stromatolith»: inkl. Hartgrund. *Tst* = Tonstein, *s/T* = sandflaseriger Tonstein, *Sst* = tonflaseriger Sandstein.

Bohrung, Horizont	Mächtigkeit [cm]	Fazies Liegendes	Fazies Hangendes	Intraklasten	Maximale Korngroßse Lithoklasten [cm]	Umkrustung, Anbohrung	Hartgrund, Stromatolithen	Interpretation
Herdern								
Her D ₃	10	Tst	Tst	ja	5,5	teilweise	Hartgrund	OD, KH
Her D ₂	39	Sst	Tst	ja	2	teilweise	—	OD, KH
Her D ₁	10	Sst	Sst	ja	4,1	—	—	Event Bed
Her C	7	Tst	s/T	—	—	—	—	RD
Her B	10	Tst	Tst	—	0,8	—	—	OD ?, Event B.?
Her A	15	Tst	Tst	—	3	—	Stromatolith	OD
Berlingen								
Ber E	12	Tst	Tst	ja	5	—	Hartgrund	OD
Ber D	17	Sst	Tst	ja	9	teilweise	Stromatolith	OD
Ber C	9	Tst	s/T	—	8	?	—	(RD)
Ber B	33	Sst	Tst	ja	1	teilweise	—	OD
Ber A	11	Tst	s/T	—	3	teilweise	—	RD
Kreuzlingen								
Kre G ₃	5,5	Tst	Tst	—	—	—	Stromatolith	KH
Kre G ₂	?	?	Tst	?	0,5	ja	—	OD/KH
Kre G ₁	?	Sst	?	—	5	ja	—	OD
Kre F ₂	5	Sst	s/T	ja	1	—	—	OD
Kre F ₁	12	Sst	Sst	ja	5	ja	—	Event Bed
Kre E	12	s/T	Sst	—	1,5	teilweise	—	RD?
Kre D	11	Sst	Tst	ja	3	ja	—	OD
Kre C ₂	14	Sst	s/T	ja	6	—	—	OD
Kre C ₁	8	Sst	Sst	ja	2	—	—	Event Bed
Kre B	16	Sst	Tst	ja	4	ja	—	OD
Kre A	6	Tst	s/T	—	4	—	—	RD

Konglomeratklasten mit gut gerundeten Sandsteinklasten in einer lithologisch identischen Matrix («Aggregatknoten», Werner 1959) auf sowie Klasten, denen Reste von eisenoooid-führender Matrix anhaften. Schliesslich sind die Einzelfunde eines minetteähnlichen Eisenooliths (vgl. Burkhalter 1996; Aufarbeitungshorizont Kre G₁, Fig. 8) und eines Gastropoden-Biosparits (Kre F₁) zu nennen. In Aufarbeitungshorizonten im Hangenden von Sandsteinen treten z.T. Sandsteinklasten auf, deren mittlere Quarzkorngrösse Werte erreicht, die im Liegenden nicht vorkommen (z.B. Her D₂, Fig. 6).

Ein Teil der Lithoklasten zeigt randliche Verfärbung, Anbohrung oder dünne mikrobielle Umkrustung aus Eisenkalzit, der ursprünglich vorhandenen Chamosit ersetzt haben dürfte. Eigentliche Onkoide, d.h. Lithoklasten mit dickerem Bewuchs, sind selten.

Die Aufarbeitungshorizonte sind meist verwöhlt. In einigen Fällen lässt sich jedoch eine scharfe untere und obere Begrenzung, eine subhorizontale Einregelung flacher Klasten sowie eine reliktische Gradierung erkennen (Fig. 4), die bei

mächtigeren Aufarbeitungshorizonten (z.B. Her D₂) auch mehrfach sein kann. Hartgründe treten, mit Ausnahme von Her A, im Dach des Kondensationshorizontes über dem «Dogger β» bzw. in dessen Hangendem auf. In zwei Horizonten (Her A und Kre G₃) sind sie von Stromatolithen aus Eisenkalzit und Pyrit (wohl ursprünglich Chamosit, vgl. Burkhalter 1995) überwachsen.

Jede «Dogger-β»-Parasequenz wird durch einen Aufarbeitungshorizont, eine sogenannte Dachbank (z.B. Bayer et al. 1985), abgeschlossen. Zudem können Aufarbeitungshorizonte in folgenden beiden Positionen innerhalb einer Parasequenz auftreten: (1) an der scharfen Basis des Sandsteinintervalls, d.h. über Tonsteinen oder sandflaserigen Tonsteinen und gefolgt von Sandsteinen sowie (2) innerhalb des Sandsteinintervalls (Fig. 4). Letztere treten meist in geringem vertikalen Abstand unterhalb von Dachbönen auf. In der Bohrung Herdern liegen ausserdem zwei – allerdings zum Opalinus-Ton gestellte – Aufarbeitungshorizonte vor (Her A u. B), die von Tonsteinen unter- und überlagert werden.



Fig. 4. Event-Bed: (Schr) gut gerundete Sandsteinklasten in einer Matrix aus tonflaserigem Sandstein. Einige der Klasten sind randlich verfärbt (Oxidationsäume?). Trotz der Verwühlung lässt sich eine leichte Gradierung erkennen. Horizont Her D₁, Bohrung Herdern-1, 1712,35 m. Gesägte Probe.

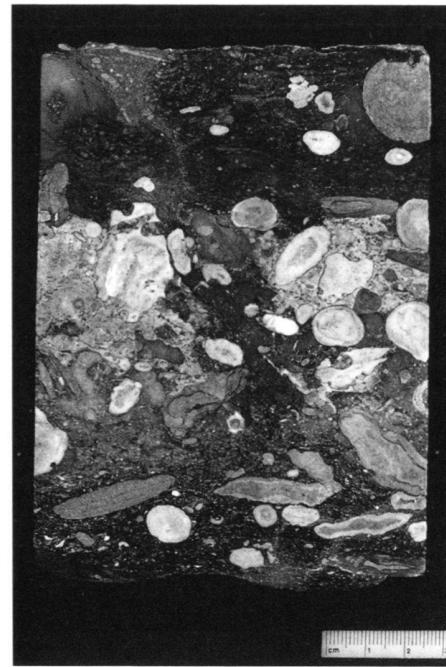


Fig. 5. Hartgrund am Top des Kondensationshorizonts Her D₃, bestehend aus einer bis 3,5 cm dicken, diskontinuierlichen Lage aus leicht sandigem, eisenoolithischem Mikrit mit Lithoklasten. Bohrung Herdern-1, 1711,43 m. Anschliff.

Generell sind die Dachbänke etwas mächtiger als die übrigen Aufarbeitungshorizonte (Tab. 3). Zudem treten Hartgründen (Fig. 5) und Stromatolithen ausschliesslich, mehrfache Gradierung mehrheitlich in Dachbönen (bzw. Kondensationshorizonten, Kap. 5.3.4) auf. Ansonsten hängt die fazielle Ausbildung der Aufarbeitungshorizonte, mit Ausnahme des vom Liegenden beeinflussten Klastenspektrums, nicht von ihrer Stellung innerhalb einer Parasequenz ab.

5.3 Interpretation

5.3.1 Tonsteine

Die Tonsteine wurden unter generell ruhigen Verhältnissen unterhalb der Sturmwellenbasis bzw. jenseits des Einflusses sturminduzierter Strömungen abgelagert. Im Bereich des Untersuchungsgebietes kann für das Aalénien und Bajocien von einer Tiefe der Sturmwellenbasis von etwa 20 bis 30 m ausgegangen werden (Gonzalez 1993, Allia & Wetzel 1995). Bioturbation und Sideritkonkretionen (Spears 1989) zeigen an, dass im obersten Bereich des Sedimentes mindestens zeitweise aerobe Bedingungen herrschten.

5.3.2 Sandflaserige Tonsteine

Die hangendwärts zunehmenden Sandeinschaltungen in den sandflaserigen Tonsteinen, insbesondere die graduierten Lagen, belegen den Eintrag von grobkörnigerem Material durch

höher energetische Ereignisse in ein nach wie vor generell ruhiges Ablagerungsmilieu mit vorherrschender Tonsedimentation. Sie werden als distale Event-Beds (Tempestite) interpretiert und weisen zusammen mit den relikтив erhaltenen Rippen auf eine Ablagerungstiefe wenig oberhalb der Sturmwellenbasis hin. Die sandigen Wühlgangfüllungen sind durch die Auswaschung des Feinanteils durch wühlende Organismen («biowinnowing», Bromley 1990) entstanden. Die vertikal schwankende Intensität der Verwühlung deutet auf fluktuierende ökologische Faktoren (Sedimentationsrate, Durchlüftung, Nahrungsangebot, möglicherweise auch Salinität) im Ablagerungsraum hin.

5.3.3 Tonflaserige Sandsteine

Die starke Bioturbation der tonflaserigen Sandsteine dokumentiert vorherrschend ruhige hydrodynamische Bedingungen bei einer geringen Sedimentationsrate. Im Vergleich zu den gleichaltrigen Sandkalken im Jura sind die tonflaserigen Sandsteine jedoch weniger stark durchwühlt, was zusammen mit dem fehlenden Biotritus als Hinweis auf etwas weniger günstige Lebensbedingungen für die entsprechenden Organismen (möglicherweise zeitweilig erniedrigte Salinität; vgl. Aldinger 1968) gedeutet werden kann. Die wenigen erhaltenen primären Sedimentstrukturen zeigen auch hier periodischen Sandtransport durch sturminduzierte oder -verstärkte Strömungen an. Das Sand/Ton-Verhältnis und die mittlere Korn-

grösse des Sandes nehmen nach oben zu, was zusammen mit dem Auftreten vertikaler Wühlgänge auf eine allmählich sich vermindernde Ablagerungstiefe hinweist. Als Wassertiefe bei der Ablagerung der tonflaserigen Sandsteine wird der Bereich zwischen Sturm- und Schönwetterwellenbasis angenommen. Die gute Sortierung des Feinsandes ist einerseits durch intermittierenden Transport zu erklären, der ein «progressive sorting» (Swift et al. 1991) zur Folge hat, andererseits durch eine gute Vorsortierung im Lieferegebiet, sei es durch mehrfache Umlagerung oder tiefgreifende Verwitterung (Aldinger 1953). Aufgrund der ähnlichen Fazies und insbesondere der guten Sortierung und des gleichen Korngrössenspektrums des Feinsandes ist anzunehmen, dass die tonflaserigen Sandsteine des «Dogger β» wie die gleichaltrigen Sandkalke im Jura sich als uniforme, sehr flache Sedimentkörper bzw. Sedimentdecken erstrecken. Ob es sich dabei, wie teilweise im Jura auch, um Füllungen von bezüglich der Umgebung rascher subsidierenden Gebieten handelt (Burkhalter 1996) ist fraglich; die zu geringe Aufschlussdichte lässt es nicht zu, Hinweise hierfür zu finden, wie z.B. den abrupten Übergang in Kondensationshorizonte. Wahrscheinlicher scheint deshalb, dass die tonflaserigen Sandsteine der drei Bohrungen wie ihre Äquivalente in der Schwäbischen Alb und im Untergrund des süddeutschen Molassebeckens als Sedimentkörper mit positivem Relief abgelagert wurden (Wild 1951, Aldinger 1953, 1968, Bayer & McGhee 1985, vgl. auch Bloos 1976).

5.3.4 Aufarbeitungshorizonte

Die überwiegende Mehrheit der Lithoklasten in den Aufarbeitungshorizonten sind «Dogger-β»-Gesteine. Es handelt sich dabei, in Analogie zu ähnlichen Klasten in Eisenoolithhorizonten im Jura und in den «Konglomeratlagen» in der Schwäbischen Alb, um exhumierte, frühdiagenetisch zementierte, primär sphärische (und deshalb nicht unbedingt transportgerundete) Konkretionen aus dem Liegenden des jeweiligen Aufarbeitungshorizonts (vgl. Werner 1959), d.h. um Intraklasten, die zu Lags konzentriert wurden. Die Lithologien der seltenen «exotischen» Klasten (minetteähnlicher Eisenoolith, Gastropoden-Biosparit) sind aus den Sissach-Schichten bekannt, treten aber auch dort nur selten auf (Burkhalter 1996).

Die Intraklasten dokumentieren somit zeitweilige Erosion im Ablagerungsraum des «Dogger β». Da Konkretionen bereits früh nach der Ablagerung des Sediments und deshalb unter geringer Bedeckung zu wachsen beginnen, dürfte die Erosion maximal einige Meter tief gereicht haben (Einsele 1985, Wetzel & Allia 1996). Besonders interessant sind die Sandstein-Intraklasten, deren mittlere Quarzkorngrösse grösser ist als diejenige im liegenden Sandstein; sie zeigen an, dass das «coarsening upward» weiter ging, bevor die Aufarbeitung einsetzte.

Anbohrung, Umkrustung und randliche Verfärbung (Oxidationssäume?) zeigen eine lange Verweildauer der Intraklasten auf der Sedimentoberfläche und somit – zusammen mit den Eisenooiden – eine stark verminderte Sedimentation an.

Auf noch ausgeprägtere Mangelsedimentation weisen Hartgründe und Stromatolithen.

Die Verwühlung bildet den hydrodynamisch ruhigen Normalzustand im Bildungsmilieu der Horizonte ab. Reliktisch erhaltene Gradierung weist auf Aufarbeitung und eventuellen kurzen Transport durch grundberührende Sturmwellen bzw. sturminduzierte Strömungen hin. Mehrfache Gradierung, allseitig umkrustete Klästen und insbesondere Konglomeratklasten zeigen wiederholte Aufarbeitung an.

Der bathymetrische Bereich der Bildungsmilieus der Aufarbeitungshorizonte dürfte zwischen Sturm- und Normalwellenbasis gelegen haben (Diskussion in Burkhalter 1996).

Ihre Position innerhalb von Parasequenzen lässt – durch den Vergleich mit den Sissach-Schichten im Jura – bei einer Mehrzahl der Aufarbeitungshorizonte weitere Rückschlüsse auf ihre Bildungsbedingungen zu. Die Dachbänke am Top der Parasequenzen entsprechen den Eisenoolithhorizonten an Omissionsdiskontinuitäten (OD, Burkhalter 1995) und dürfen wie diese durch Omission («starvation») infolge eines raschen Meeresspiegelanstiegs gebildet worden sein.

Die Aufarbeitungshorizonte an der scharfen Basis des Sandsteinintervalls sind mit den Eisenoolithhorizonten an Regressionsdiskontinuitäten (RD, Burkhalter 1995) zu vergleichen. Diese wurden durch Mangelsedimentation infolge des Gleichgewichts zwischen Sedimentation und Erosion (Netto-Omission) während einer raschen Meeresspiegelabsenkung gebildet.

Bei beiden Diskontinuitätstypen hat, nebst dem durch Meeresspiegelschwankungen gesteuerten Rückgang der Sedimentzufuhr, die wiederholte Aufarbeitung des Sediments zu einem «winnowing» und somit zu einer Verminderung der Nettoakkumulation geführt. In dieser durch hochenergetische Ereignisse geprägten Art der Mangelsedimentation dürfte auch der Grund liegen, weshalb die Aufarbeitungshorizonte ärmer an Eisenooiden sind als ihre Äquivalente im Jura (vgl. Burkhalter 1995).

Analog zu den Verhältnissen im Jura lag wohl auch hier die zur Bildung einer Diskontinuität bzw. eines Aufarbeitungshorizonts benötigte Dauer der Omissionsphase unterhalb der Schwelle des Auflösungsvermögens biostratigraphischer Datierungen. Beide Diskontinuitätstypen sind im Jura weitflächig verbreitet. In Bereichen, in denen länger anhaltende Omission herrschte, können sie, z.T. mit weiteren Diskontinuitäten, in biostratigraphisch dokumentierbaren Kondensationshorizonten zusammenfallen.

Bei den mit Dachbänken vergesellschafteten Aufarbeitungshorizonten handelt es sich um Event-Beds (Tempestite). Sie dokumentieren einen Transport von Material aus einem Bereich, in welchem Aufarbeitung und Mangelsedimentation früher eingesetzt hatten, in einen solchen, bei dem die Sedimentakkumulation noch nicht zum Stillstand gekommen war. Diese Verhältnisse deuten auf ein Relief im Ablagerungsraum. Die Vergesellschaftung von einzelnen Tempestitlagen mit z.T. mehrfach aufgearbeiteten Omissionsdiskontinuitäten (Dachbänken) dokumentiert den Grenzbereich der stratigraphischen

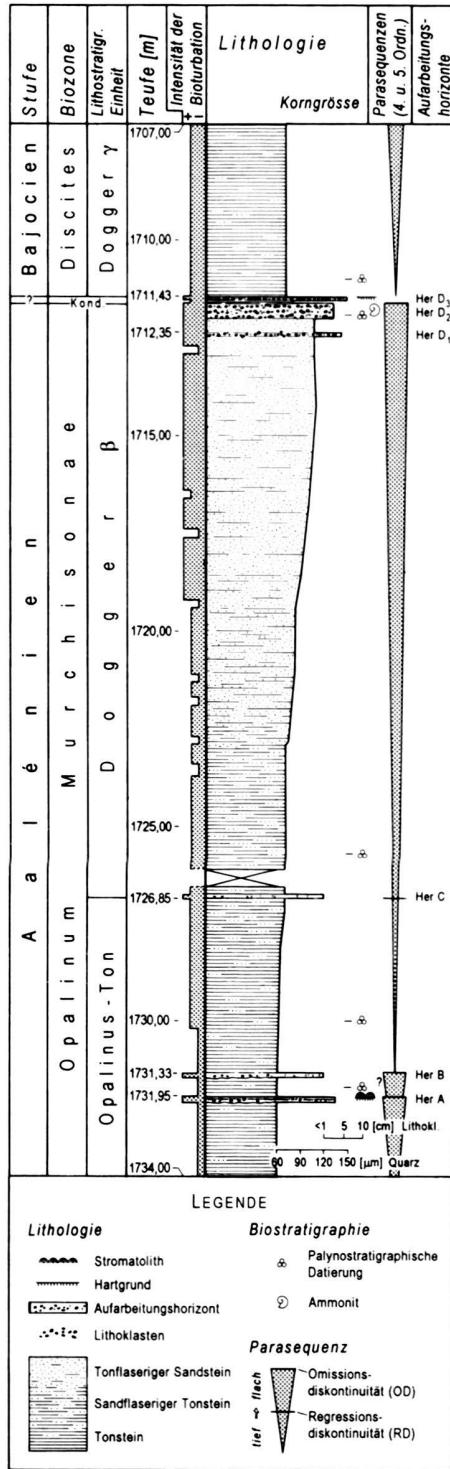


Fig. 6. Detailprofil «Dogger β», Bohrung Herdern-1.

Auflösung zwischen einzelnen Events und dem über längere Zeit vorherrschenden («time-averaged») Sedimentationsgeschehen.

Aus dem Rahmen fallen die beiden untersten Aufarbeitungshorizonte in der Bohrung Herdern. Her A entspricht den von Bläsi (1987) aus dem oberen Opalinus-Ton der zentralen Nordschweiz beschriebenen biomikritischen Bänken mit z.T. angebohrten Knollen, die als Dachbänke (OD) von hierarchisch untergeordneten (Kap. 5.1), nur aus Tonsteinen aufgebauten Parasequenzen interpretiert werden (Bläsi 1987, Burkhalter 1996). Bei Her B ist die Interpretation schwierig. Es könnte sich wie Horizont Her A sowohl um eine zweite Dachbank (vgl. Strasser et al. 1996) als auch um ein Event-Bed handeln.

5.3.5 Palynologische Resultate zum Ablagerungsraum

Die Proben aus dem Aalénien weisen einen hohen Anteil an Pollen und Sporen sowie Holz und Reste von pflanzlichem Gewebe auf. Dieser Anteil ist höher als in den gleichaltrigen Schichten am Eichberg und in der Bohrung Weiach (unveröff. Daten S. Feist-Burkhardt), was auf einen terrigenen Einfluss aus östlicher bis nordöstlicher Richtung hinweist. Im Bajocien lässt der terrige Einfluss nach.

Aufgearbeitete Pollen und Sporen weisen auf Erosion von karbonischen und triassischen Sedimenten im Liefergebiet hin (Kap. 7.1.2).

6. Beschreibung der untersuchten Kernstrecken

Im Folgenden werden die Parasequenzen in den untersuchten Kernstrecken summarisch beschrieben (Fig. 6–8, Tab. 3). Die Strecken umfassen zusätzlich zum «Dogger β» noch kurze Abschnitte von dessen Liegendem und Hangendem. Die Beschreibung erfolgt jeweils von stratigraphisch unten nach oben.

6.1 Herdern-1 (Fig. 6)

1734,00–1731,95 m: Oberer Teil einer untergeordneten, nur aus Tonsteinen aufgebauten Parasequenz. Den Abschluss bildet eine leicht eisenoolithische Dachbank (OD, Her A), welche Klasten aus kalkigem Siltstein und Mikrit enthält und mit einem angebohrten Hartgrund und einer stromatolithischen Kruste endet.

1731,95–1731,33 m: Tonsteinlage mit einem darüber folgenden leicht eisenoolithischen Aufarbeitungshorizont (OD, evtl. auch Event-Bed; Her B). Wegen der unsicheren Interpretation von Her B (Kap. 5.3.4) bleibt offen, ob dieser Tonsteinabschnitt der unteren oder oberen Parasequenz zugeordnet werden muss oder ob es sich um eine eigenständige, untergeordnete Parasequenz handelt.

1731,33–1711,43 m: Diese Parasequenz beginnt mit einem 4,5 m mächtigen Tonsteinintervall, in welchem der Gehalt an detritischem Quarz, dessen mittlere Korngrösse im Bereich der Silt/Sand-Grenze liegt, nach oben zunimmt. Bei 1726,85 m folgt ein Aufarbeitungshorizont (RD, Her C), der als Besonderheit weder Klasten noch Eisenooide enthält. Aus diesem Horizont konnte ein korrodiertes Ammonitenbruchstück

(Vertreter der Unterfamilie der Hammatoceratinae) geborgen werden. Hier C wird von einem 14,8 m messenden Abschnitt überlagert, der unten aus sandflaserigen Tonsteinen besteht, die nach 3–4 m fließend in tonflaserige Sandsteine übergehen. Die mittlere Korngrösse des Quarzes nimmt innerhalb dieses Intervalls von 70 auf 110 µm zu. Bei 1712,35 m ist ein Event-Bed (Hier D₁, Fig. 4) eingeschaltet. Zwischen 1711,98 und 1711,43 m folgt eine als eigentlicher Geröllhorizont ausgebildete Dachbank (Hier D₂ u. D₃), die mehrfach gradiert und im oberen Teil durch eine dünne Tonsteinlage unterbrochen ist. Hier D₃ wird durch einen Hartgrund abgeschlossen (Fig. 5). Einige der in dieser Dachbank auftretenden Intraklasten haben eine mittlere Quarzkorngrösse von bis zu 130 µm, d.h. grösser als im liegenden Sandstein (Kap. 5.3.4). In Hier D₂ wurde ein Bruchstück einer *Ludwigia (Brasilia)* sp. gefunden.

1711,43–1707,00 m: Basis der hangenden Parasequenz, bestehend aus leicht sandflaserigem Tonstein.

6.2 Berlingen-1 (Fig. 7)

In der Bohrung Berlingen fehlen infolge Kernverlusts zwei relativ lange Abschnitte des «Dogger β», und zwar von 1906,50–1901,50 und von 1895,50–1886,40 m. Mit Hilfe des geophysikalischen Logs, aus welchem die Verteilung von Ton- und Sandsteinen hervorgeht, sowie einzelnen Sandsteinbrocken kann die vertikale Faziesentwicklung jedoch abgeleitet werden.

1913,15–1900,80 m: Der aufgeschlossene Teil der unteren Parasequenz, deren Basis unterhalb der gekerten Strecke liegt, beginnt mit einer 3,2 m mächtigen Tonsteinfolge mit Siltsteinlinsen sowie Pyrit- und Sideritkonkretionen, die von einem Aufarbeitungshorizont (RD, Ber A) gefolgt wird, welcher neben Echinodermendetritus und vereinzelten Eisenooiden vorwiegend Sandkalkklasten führt. Darüber liegen 8,8 m tonflaserige Sandsteine mit Siderit- und Pyritkonkretionen. In diesem Intervall nimmt die mittlere Quarzkorngrösse von ca. 80 auf 110 µm zu. Abgeschlossen wird die untere Parasequenz mit einer Dachbank (OD, Ber B), die überwiegend Intraklasten enthält.

1900,80–1885,85 m: Der untere Teil der folgenden Parasequenz besteht aus 3,2 m siltigen Tonsteinen mit Sideritkonkretionen; darüber liegt ein Aufarbeitungshorizont (RD, Ber C), der biotritusreich ist und zahlreiche Sandsteinklasten sowie vereinzelte Eisenooide führt. Hangendwärts folgt ein 11,5 m mächtiger Abschnitt, der zuunterst aus sandflaserigen Tonsteinen besteht, die nach etwa 1,5 m in tonflaserige Sandsteine übergehen. In diesem Intervall nimmt die mittlere Quarzkorngrösse von ca. 90 auf 130 µm zu. Den Abschluss der Parasequenz bildet eine eisenoolithische Dachbank (OD, Ber D), an deren Top ein Hartgrund mit stromatolithischer Kruste ausgebildet ist und die als Besonderheit von einer 10 cm langen subvertikalen Spalte durchschlagen wird. Die Spaltenfüllung besteht aus grobem eisenkalzitischem Pseudosparit.

1885,85–1882,30 m: Parasequenz aus siltigen, glimmerführenden Tonsteinen bis -mergeln, die von einer 12 cm mächt-

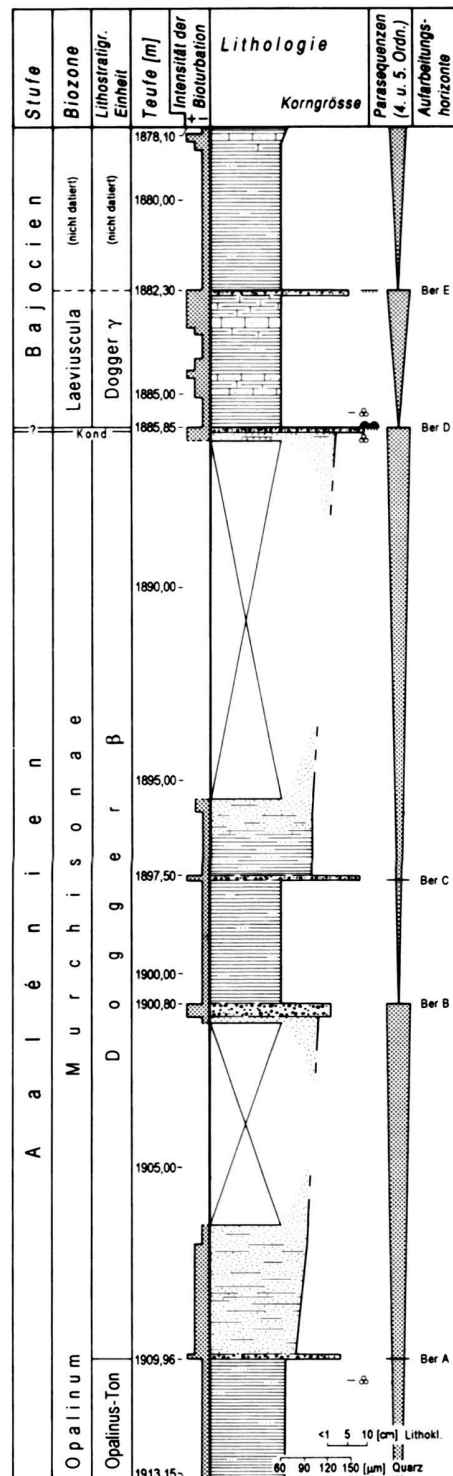


Fig. 7. Detailprofil «Dogger β», Bohrung Berlingen-1 (Legende siehe Fig. 6).

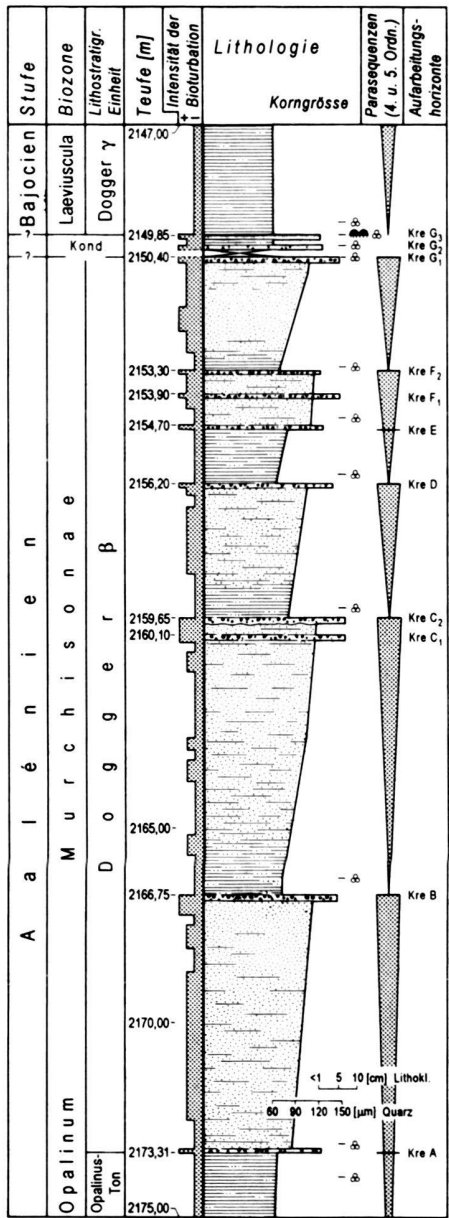


Fig. 8. Detailprofil «Dogger β», Bohrung Kreuzlingen-1 (Legende siehe Fig. 6).

tigen, von einem Hartgrund abgeschlossenen Dachbank (OD, Ber E) überlagert werden.

1882,30–1878,10 m: Tonsteinabfolge, die den unteren Teil der nächsthöheren Parasequenz bildet. Dicht unter dem oberen Ende der gekernten Strecke liegt eine dm-mächtige biotritusreiche Kalkbank.

6.3 Kreuzlingen-I (Fig. 8)

2175,00–2166,75 m: Die Basis der untersten Parasequenz wurde nicht gekernt. Nach 1,7 m Tonsteinen folgt ein leicht

eisenoolithischer Horizont (RD, Kre A), der nur sehr wenig Lithoklasten enthält, dann ein 6,3 m mächtiges Sandsteinintervall und schliesslich eine biotritusreiche Dachbank (OD, Kre B) mit z. T. angebohrten Intraklasten. Die mittlere Quarzkorngrösse nimmt im Sandsteinintervall von 75 auf 100 µm zu.

2166,75–2159,65 m: Die zweitunterste Parasequenz misst 7,1 m. Die untersten 1 bis 1,5 m bestehen aus Tonsteinen, dann folgen etwa bis zur Mitte der Parasequenz sandflaserige Tonsteine und schliesslich tonflaserige Sandsteine. Im unteren Teil dieser Sequenz ist die Durchwühlung vergleichsweise weniger intensiv, so dass etliche primäre Sedimentstrukturen (Rippeln, ebene Feinschichtung, gradierte Lagen) erhalten geblieben sind. 0,6 m unterhalb des Tops liegt ein geringmächtiges Event-Bed (Kre C₁); abgeschlossen wird die Parasequenz durch eine biotritusreiche Dachbank (OD, Kre C₂), deren Klasten mehrfache Aufarbeitung belegen. Die mittlere Quarzkorngrösse nimmt von 65 auf 120 µm zu.

2159,65–2156,20 m: Die Mächtigkeit der drittuntersten Parasequenz beträgt 3,45 m, wovon der unterste Meter auf sandflaserige Tonsteine, der Rest auf tonflaserige Sandsteine entfällt. Die Dachbank (OD, Kre D) enthält angebohrte Intraklasten. Innerhalb dieser Parasequenz nimmt die mittlere Quarzkorngrösse nach oben auf 100 µm zu.

2156,20–2153,30 m: Die folgende, 2,9 m messende Parasequenz zeigt einen etwas komplexeren Aufbau: Ein Aufarbeitungshorizont (RD, Kre E) trennt das 1,4 m mächtige untere Intervall, das unten aus Tonsteinen, oben aus sandflaserigen Tonsteinen besteht, vom gleich mächtigen, aus tonflaserigen Sandsteinen bestehenden oberen Intervall. In der Mitte des Sandsteinintervalls tritt ein Event-Bed (Kre F₁) mit mehrfach aufgearbeiteten Intraklasten auf, zuoberst die geringmächtige Dachbank (OD, F₂), die nur sehr wenig Aufarbeitungsmaterial enthält. Die mittlere Quarzkorngrösse erreicht einen Wert von ca. 100 µm.

2153,30–2149,85 m: Abgesehen von einem knapp 0,5 m messenden basalen Abschnitt aus sandflaserigen Tonsteinen besteht diese 3,45 m mächtige Parasequenz im wesentlichen aus tonflaserigen Sandsteinen, deren mittlere Korngrösse von unten 70 auf oben 110 µm ansteigt. Abgeschlossen wird sie von einer aus drei dünnen Horizonten (Kre G₁–G₃) bestehenden Dachbank. G₂ und G₃ werden durch eine geringmächtige Tonsteinlage getrennt, zwischen G₁ und G₂ wurde kein Kernmaterial geborgen. G₁ enthält Lithoklasten, G₁ und G₂ führen chamositische Onkoide, G₃ ist durch einen Hartgrund mit stromatolithischem Bewuchs abgeschlossen.

2149,85–2147,00 m: Homogene, siltige, leicht mergelige Tonsteine. Basis der nächsthöheren Parasequenz.

6.4 Zusammenfassung

In den drei Kernstrecken treten drei (Herdern), vier (Berlin- gen) bzw. sechs (Kreuzlingen) Parasequenzen auf, die jedoch nicht alle dem «Dogger β» zugerechnet werden (Kap. 7.3.3) und von denen zwei pro Strecke nur teilweise gekernt sind. Die geringmächtigste der vollständig gekernten Parasequen-

zen misst 2,9 m (Kreuzlingen), die mächtigste 19,9 m (Herdern; deren unterer Teil wird zum Opalinus-Ton gerechnet, s.u.). Zusätzlich zur Dachbank (Omissionsdiskontinuität), die in jeder Parasequenz mit gekerntem Top auftritt, enthalten fünf Parasequenzen eine Regressionsdiskontinuität. In Herdern und Berlingen nimmt die mittlere Quarzkorngrösse gesamthaft bis in das Dach des Sandsteinabschnitts zu, in Kreuzlingen wird das Maximum in der zweituntersten Parasequenz erreicht.

7. Stratigraphie

Der «Dogger β» der drei Bohrungen wurde, zusammen mit den mitgekernten Abschnitten in seinem Liegenden und Hangenden, mittels Palynomorphen biostratigraphisch datiert. Zusätzlich wurde mit einem sequenzstratigraphischen Ansatz eine genaue und konsistente Abgrenzung und damit eine verfeinerte Korrelation sowie eine möglichst detaillierte Gliederung angestrebt.

7.1 Palynostratigraphie

7.1.1 Einleitung

Die semiquantitative palynologische Untersuchung hatte zum Ziel, die Proben palynostratigraphisch zu datieren und sie Ammoniten-Zonen zuzuordnen. Die Datierungen stützen sich auf die Untersuchungen von Feist-Burkhardt (1990, 1992) und Feist-Burkhardt & Wille (1992) über das Aalénien und Bajocien in Süddeutschland und in der Nordschweiz. Für die Zuordnung der Proben zu Ammoniten-Zonen wurde vor allem das mittels Ammoniten datierte Profil am Westhang des Eichbergs bei Blumberg (Wutachgebiet, Süddeutschland) verwendet (Feist-Burkhardt 1992). In den neuesten publizierten palynostratigraphischen Zonierungen von Riding & Thomas (1992) für Grossbritannien und von Partington et al. (1993) für die Nordsee und angrenzende Gebiete werden zum Teil die selben Dinoflagellatenzysten als Leitarten verwendet. Die genauen stratigraphischen Reichweiten einzelner Arten weichen jedoch von den Ergebnissen aus Süddeutschland und der Schweiz ab, so dass ausschliesslich die süddeutschen und schweizerischen Vergleichsdaten zur Datierung herangezogen wurden.

Zusätzlich zu den Datierungen lässt die Untersuchung der Palynomorphen Aussagen zur Herkunft und Transportdistanz des terrigenen Detritus zu. Einschränkend wirkt sich hingegen aus, dass keine Ammoniten-Subzonen ausgeschieden werden können.

7.1.2 Ergebnisse

Die Proben ergaben zum grössten Teil einen guten palynologischen Rückstand mir reicher und diverser Mikroflora. Die Erhaltung der Palynomorphen ist meist gut bis mässig gut.

Das Palynomorphenspektrum setzt sich aus überwiegend Pollen und Sporen und, weniger häufig, Dinoflagellatenzysten

zusammen. In den Proben aus dem Aalénien ist der Anteil an Holz und Resten von pflanzlichem Gewebe gross. Nur untergeordnet treten Prasinophyten, Acritarchen, Foraminiferenarten und Grünalgen (*Botryococcus*) auf, daneben auch aufgearbeitete karbonische und triassische Pollen und Sporen.

Die Untersuchungsergebnisse sind in Form von Range-Charts (Tf. 2–4) zusammengestellt.

Die kompletten Autorenangaben zu den in den Range-Charts verwendeten Taxa von Dinoflagellatenzysten findet sich in Lentin & Williams (1993). Eine Auswahl wichtiger Dinoflagellatenzysten ist auf Tafel 1 abgebildet.

7.1.3 Interpretation

Das biostratigraphische Auflösungsvermögen von Pollen und Sporen im Jura ist ungenügend, die Datierungen basieren deshalb auf Dinoflagellatenzysten. Die biostratigraphischen Grenzen werden nach dem ersten Auftreten der Leitarten (vom Liegenden ins Hangende gesehen) gezogen. Die auftretenden Pollen und Sporen bestätigen die Datierungen mit Dinoflagellatenzysten.

Der hohe Anteil an Pollen und Sporen, Holz und Resten von pflanzlichem Gewebe spricht für eine starke terrigene Beeinflussung des Ablagerungsraumes. Die Zunahme dieses Anteils in Richtung Osten gibt einen Hinweis auf die Lage der Küste. Karbonische und triassische Pollen und Sporen weisen auf Aufarbeitung älterer Sedimente hin.

Herdern-1 (Tf. 2)

Die Proben können palynostratigraphisch in zwei Gruppen unterteilt werden:

1731,70–1711,89 m: Reiche Palynoflora aus überwiegend Pollen und Sporen und, weniger häufig, Dinoflagellatenzysten. Die Assoziation der Dinoflagellatenzysten wird von zahlreichen Arten der Gattung *Nannoceratopsis* dominiert. Häufig sind *Batiacasphaera* spp. und *Kallosphaeridium* spp., während *Mancodium semitabulatum*, *Scriniocassis limbicavatus* und *Scriniocassis weberi* vereinzelt auftreten.

Das Vorkommen von *Batiacasphaera* spp. und *Kallosphaeridium* spp. spricht für ein Höchstalter Opalinum-Zone. Die für die Opalinum-Zone jedoch typischen diversen Vertreter der kleinwüchsigen Phallocystaceen («*Parvocysta* suite» von Riding 1984, «*Susadinium* group» von Wille 1982) fehlen. Das Fehlen von *Dissiliodinium* spp. spricht für ein Alter nicht jünger als die Murchisonae-Zone. Somit sind diese Proben der Opalinum- bis Murchisonae-Zone zuzuordnen.

1711,00 m: Die Vergesellschaftung der Dinoflagellatenzysten entspricht etwa derjenigen des Liegenden, wobei jedoch *Nannoceratopsis dictyambonis* und *Mancodium semitabulatum* häufig bzw. sehr häufig vorkommen. *Adreedinium elongatum*, *Dissiliodinium* sp. A in Feist-Burkhardt (1990) und *Dissiliodinium* aff. *giganteum* erscheinen erstmals. *Dissiliodinium* sp. A tritt ab der oberen Murchisonae-Zone auf, während das älteste Vorkommen von *Dissiliodinium* aff. *giganteum* aus der Discites-Zone bekannt ist. Das Fehlen von *Dissiliodinium* gi-

ganteum in der Probe macht ein jüngeres Alter als Discites-Zone unwahrscheinlich, was bedeutet, dass die Probe in die Discites-Zone zu stellen ist.

Die Concavum-Zone kann in den bearbeiteten Proben des Profils Herdern nicht positiv nachgewiesen werden.

Berlingen-1 (Tf. 3)

Die Proben können palynostratigraphisch in drei Gruppen unterteilt werden:

1910,40 m: Reiche Mikroflora aus überwiegend Pollen und Sporen und, weniger häufig, Dinoflagellatenzysten. Die Assoziation der Dinoflagellatenzysten setzt sich aus *Nannoceratopsis* spp., *Batiacasphaera* sp. 1, *Kallosphaeridium praussii* und *Scrinicassis limbicavatus* zusammen.

Das Vorkommen der Gattungen *Batiacasphaera* und *Kallosphaeridium* sowie das Fehlen von Vertretern der «*Parvocysta* suite» und der Gattung *Dissiliodinium* sprechen für die Einstufung der Probe in die Opalinum- bis Murchisonae-Zone.

1885,90 m (Proben A u. B): Das Verhältnis von Dinoflagellatenzysten zu Pollen und Sporen ist in diesen Proben etwas höher als in derjenigen des Liegenden. Die Diversität an *Nannoceratopsis*-Arten nimmt ab, es sind nur noch *N. plegas* und *N. gracilis* vorhanden. Folgende Arten haben ihr erstes Einsetzen: *Valvaeodinium vermicellatum*, *Batiacasphaera* sp. 2, *Dissiliodinium giganteum*, *Dissiliodinium* sp. A und *Gongyldinium erymnoteichos*. Das Vorkommen der beiden *Dissiliodinium*-Arten, *D. giganteum* und *Dissiliodinium* sp. A bei Abwesenheit von *Durotrigia daveyi* spricht für die Zuordnung dieser Proben in die Discites- bis untere Laeviuscula-Zone.

1885,60 m: Die Assoziation der Dinoflagellatenzysten ist reich an *Nannoceratopsis gracilis* und *Dissiliodinium giganteum*. Andere häufige Arten von Dinoflagellatenzysten sind *Batiacasphaera* sp. 2, *Durotrigia daveyi*, *Gongyldinium erymnoteichos* und *Mancodium semitabulatum*.

Das gemeinsame Vorkommen von *Dissiliodinium giganteum* und *Durotrigia daveyi* spricht für die höhere Laeviuscula- bis Sauzei-Zone.

Die Concavum-Zone kann in den bearbeiteten Proben des Profils Berlingen nicht nachgewiesen werden.

Kreuzlingen-1 (Tf. 4)

Die Proben können nach dem palynologischen Befund in drei Gruppen unterteilt werden:

2173,95–2153,20 m: Reiche Palynoflora aus überwiegend Pollen und Sporen und, weniger häufig, Dinoflagellatenzysten. Die Assoziation der Dinoflagellatenzysten wird von zahlreichen Arten der Gattung *Nannoceratopsis* dominiert. Daneben sind *Batiacasphaera* spp. und *Kallosphaeridium praussii* häufig. *Andreedinium elongatum*, *Mancodium semitabulatum*, *Scrinicassis priscus* und *Scrinicassis weberi* treten unregelmäßig in einzelnen Exemplaren auf. Das Vorkommen von *Batiacasphaera* spp. und *Kallosphaeridium* spp. deutet auf ein Höchstalter Opalinum-Zone. Die für die Opalinum-Zone typi-

schen diversen Vertreter kleinwüchsiger Phallocystaceen fehlen jedoch. Es wurde kein Vertreter der Gattung *Dissiliodinium* gefunden. In Süddeutschland tritt die erste *Dissiliodinium*-Art im oberen Teil der Murchisonae-Zone auf, gefolgt von einer starken Entfaltung ab der Concavum-Zone. Das Fehlen von *Dissiliodinium*-Arten lässt auf ein Alter nicht jünger als Murchisonae-Zone schliessen.

Die Daten sprechen somit für eine Einordnung der Proben in die Opalinum- bis Murchisonae-Zone.

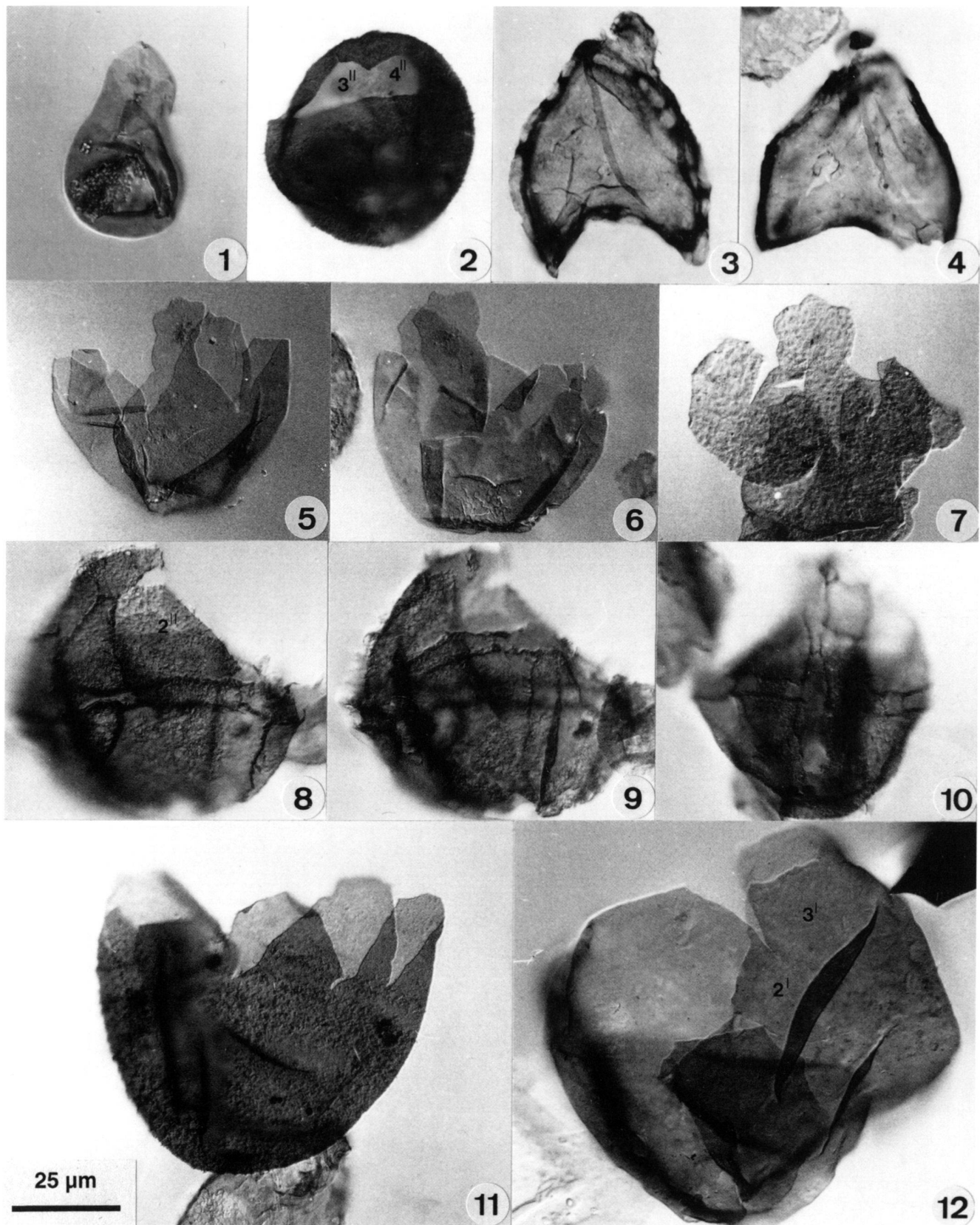
2150,32–2150,10 m: Beide Proben lieferten nur sehr wenig palynologischen Rückstand. Die vereinzelten darin enthaltenen Palynomorphen sind sehr dunkel, was auf eine starke Oxidation des Materials zurückzuführen ist. Aus diesem Grund ist eine palynostratigraphische Einstufung nicht möglich.

2149,83–2149,50 m: Das Verhältnis von Dinoflagellatenzysten zu Pollen und Sporen ist in diesen beiden Proben etwas höher als in den reichen Proben des Liegenden (2173,95 bis 2153,20 m). Zusätzlich zu den auch im Liegenden angetroffenen

Tf. 1. Auswahl wichtiger Dinoflagellatenzysten.

Alle Photos wurden mit Differentialinterferenzkontrast aufgenommen. Vergrösserung: × 800.

1. – *Andreedinium elongatum* (BEJU 1971) FEIST-BURKHARDT & MONTEIL 1990. Probe Kreuzlingen 2173,10 m. England Finder Koordinaten (E. F. Koord.): O 21/1.
2. – *Gongyldinium erymnoteichos* FENTON et al. 1980. Probe Kreuzlingen 2149,50 m. E. F. Koord.: M 46/3–4. Dorsalsicht. Die Archäopyle wird durch den Verlust der beiden präcingularen Paraplatten 3'' und 4'' gebildet.
3. – *Nannoceratopsis dictyambonis* RIDING 1984. Probe Kreuzlingen 2153,20 m. E. F. Koord.: O 19. Rechts-laterale Ansicht.
4. – *Nannoceratopsis ambonis* DRUGG 1978. Probe Herdern 1711,00 m. E. F. Koord.: Q 20. Links-laterale Ansicht.
5. – *Kallosphaeridium praussii* LENTIN & WILLIAMS 1993. Probe Kreuzlingen 2173,95 m. E. F. Koord.: Q 19/1. Ventralansicht. Vollständiges Exemplar mit ausgebildeter Archäopyle. Apikalkalotte in Aufsicht. Beachte die meta-Konfiguration der Apikalkalotte mit (?) interkalaren Paraplatten.
6. – *Kallosphaeridium praussii* LENTIN & WILLIAMS 1993. Probe Kreuzlingen 2173,95 m. E. F. Koord.: Q 21/1. Ventralansicht. Vollständiges Exemplar mit ausgebildeter Archäopyle. Apikalkalotte in Aufsicht. Beachte die inter-meta-Konfiguration der Apikalkalotte.
7. – *Kallosphaeridium capulatum* STOVER 1977 (sensu PRAUSS 1989). Probe Kreuzlingen 2155,95 m. E. F. Koord.: M 22/1. Im Bereich der Hypozyste zerbrochenes Exemplar. Apikalkalotte in Aufsicht. Beachte die ortho-Konfiguration der Apikalkalotte mit (mind. 1) interkalaren Paraplatten.
8. 9. – *Durotrigia daveyi* BAILEY 1987. Probe Berlingen 1885,60 m. E. F. Koord.: T 37. Links-laterale Ansicht. 8. – Links-laterale Seite in hohem Fokus. 9. – Rechts-laterale Seite in niedrigem Fokus. Präcingulare Paraplatten 3'' und 4'' fehlen. Präcingulare Paraplatte 2'' adhären, teilweise abgelöst von der Apikalkalotte und dem Rand des Paracingulum.
10. – *Durotrigia daveyi* BAILEY 1987. Probe Berlingen 1885,60 m. E. F. Koord.: P 25/3. Ventrale Seite in niedrigem Fokus.
11. – *Batiacasphaera* sp. 2. Probe Kreuzlingen 2153,20 m. E. F. Koord.: P 31.
12. – *Dissiliodinium giganteum* FEIST-BURKHARDT 1990. Probe Berlingen 1885,60 m. E. F. Koord.: P 40. Apikalkalotte in Innenansicht. Präcingulare Paraplatten 3'' und 4'' fehlen. Eine Operkularplatte liegt im Inneren der Zyste.



Aalénien					Bajocien	Stufe				
Opalinum – Murchisonae					Discites	Ammoniten-Zone				
1731,70 m	1730,00 m	1725,72 m	1711,89 m	1711,00 m		Teufe				
Dinoflagellatenzysten										
♦			♦		♦	1 <i>Nannoceratopsis cf. senex</i>	15 <i>Andreadinium elongatum</i>			
♦		♦			♦	2 <i>Nannoceratopsis triceras</i>	10 <i>Baltacaspheara</i> sp. 1 (glatt)			
♦		♦			♦	3 <i>Kallosphaeridium prausii</i>	9 <i>Baltacaspheara</i> sp. 2 (ornamentiert)			
♦		♦			♦♦	4 <i>Mancodiumnum semitabulatum</i>	16 <i>Dissiliodinium</i> aff. <i>giganteum</i>			
♦		♦			♦♦	5 <i>Nannoceratopsis dictyambonis</i>	17 <i>Dissiliodinium</i> sp. A in FEIST-BURKHARDT 1990			
♦		♦			♦	6 <i>Nannoceratopsis gracilis</i>	13 <i>Kallosphaeridium capulatum</i> s. PRAUSS 1989			
♦		♦			♦	7 <i>Nannoceratopsis plegas</i>	3 <i>Kallosphaeridium prausii</i>			
♦♦		♦♦	♦♦		♦	8 <i>Nannoceratopsis</i> spp.	4 <i>Mancodiumnum semitabulatum</i>			
♦♦		♦			♦	9 <i>Baltacaspheara</i> sp. 2 (ornamentiert)	14 <i>Nannoceratopsis ambonis</i>			
♦♦		♦♦	♦♦		♦	10 <i>Baltacaspheara</i> sp. 1 (glatt)	1 <i>Nannoceratopsis cf. senex</i>			
?		♦♦	♦♦		?	11 <i>Scrinocassis limbicavatus</i>	5 <i>Nannoceratopsis dictyambonis</i>			
?		?	♦		?	12 <i>Scrinocassis weberi</i>	6 <i>Nannoceratopsis gracilis</i>			
?					♦	13 <i>Kallosphaeridium capulatum</i> s. PRAUSS 1989	7 <i>Nannoceratopsis plegas</i>			
?					♦	14 <i>Nannoceratopsis ambonis</i>	8 <i>Nannoceratopsis</i> spp.			
?					♦♦	15 <i>Andreadinium elongatum</i>	2 <i>Nannoceratopsis inceras</i>			
?					♦	16 <i>Dissiliodinium</i> aff. <i>giganteum</i>	11 <i>Scrinocassis limbicavatus</i>			
?					♦	17 <i>Dissiliodinium</i> sp. A in FEIST-BURKHARDT 1990	12 <i>Scrinocassis weberi</i>			
Andere aquatische Palynomorphe										
♦♦					♦	<i>Botryococcus</i>				
♦		♦			♦	<i>Cymatosphaera</i> spp.				
♦					♦	<i>Foraminiferentapeten</i>				
♦		♦			♦	<i>Fromea lomatilis</i>				
♦		♦			♦	<i>Kalyptea halosa</i>				
♦		♦			♦♦	<i>Michystridium</i> spp. / <i>Baltospheeridium</i> spp.				
♦		♦			♦	<i>Polyphaenidium deflandrei</i>				
♦		♦			♦	<i>Pterospermopsis</i> sp.				
♦♦		♦	♦	♦	♦	<i>Tasmanties</i>				
Pollen und Sporen										
♦					1	<i>Stereisporites</i> spp.	3 <i>Araucariacites australis</i>			
♦		♦	♦		2	<i>Leprolepidites</i> spp.	4 bisaccate Pollenkörner			
♦♦		♦♦	♦♦	♦♦	3	<i>Araucariacites australis</i>	25 <i>Calamospora tener</i>			
♦♦		♦♦	♦♦	♦♦	4	<i>bisaccate Pollenkörner</i>	27 <i>Callialasporites dampieri</i>			
♦♦		♦♦	♦♦	♦♦	5	<i>Callialasporites microvelutinus</i>	5 <i>Callialasporites microvelutinus</i>			
♦♦		♦	♦		6	<i>Callialasporites minor</i>	6 <i>Callialasporites minor</i>			
♦♦		♦♦	♦♦	♦	7	<i>Cerebropollenites mesozoicus</i>	28 <i>Callialasporites segmentatus</i>			
♦♦		♦♦	♦	♦	8	<i>Chasmatosporites hians</i>	29 <i>Callialasporites turbatus</i>			
♦♦		♦	♦	♦	9	<i>Classopolis torosus</i>	7 <i>Cerebropollenites mesozoicus</i>			
♦♦		♦	♦	♦	10	<i>Concavispores</i> spp.	8 <i>Chasmatosporites apertus</i>			
♦♦		♦	♦	♦	11	<i>Concavispores subgranulosus</i>	9 <i>Classopolis torosus</i>			
♦♦		♦♦	♦♦	♦♦	12	<i>Deltoidospora minor</i>	20 <i>Concavispores</i> spp.			
♦♦		♦♦	♦♦	♦♦	13	<i>Dicyophyllidites harrisii</i>	10 <i>Concavispores</i> spp.			
♦♦		♦	♦	♦	14	<i>Duplexisporites problematicus</i>	11 <i>Concavispores subgranulosus</i>			
♦♦		♦	♦	♦	15	<i>Exesipollenites scabritus</i>	41 <i>Deltoidospora australis</i>			
♦♦		♦♦	♦♦	♦	16	<i>Osmundacites wellmanni</i>	12 <i>Deltoidospora minor</i>			
♦♦		♦♦	♦♦	♦	17	<i>Perinopollenites elatoides</i>	13 <i>Dicyophyllidites harrisii</i>			
♦♦		♦	♦	♦	18	<i>Quadraceculina anellaeformis</i>	20 <i>Concavispores</i> spp.			
♦♦		♦	♦	♦	19	<i>Todisporites minor</i>	23 <i>Dicyophyllidites mortoni</i>			
♦♦		♦	♦	♦	20	<i>Tritites ranverrucatus</i>	14 <i>Duplexisporites problematicus</i>			
♦♦		♦	♦	♦	21	<i>Helicosporites altmarkensis</i>	15 <i>Exesipollenites scabritus</i>			
♦♦		♦	♦	♦	22	<i>Chasmatosporites apertus</i>	30 <i>Exesipollenites tumulus</i>			
♦♦		♦	♦	♦	23	<i>Dicyophyllidites mortoni</i>	31 <i>Foveosporites</i> spp.			
♦♦		♦	♦	♦	24	<i>Obtusisporis juncta</i>	21 <i>Helicosporites altmarkensis</i>			
♦♦		♦	♦	♦	25	<i>Calamospora tener</i>	32 <i>Ischyrospora variegatus</i>			
♦♦		♦	♦	♦	26	<i>Conbaculatisporites</i> spp.	42 <i>Kekryphalospora distincta</i>			
♦♦		♦	♦	♦	27	<i>Callialasporites dampieri</i>	2 <i>Leptolepidites</i> spp.			
♦♦		♦	♦	♦	28	<i>Callialasporites segmentatus</i>	43 <i>Leptolepidites verrucatus</i>			
♦♦		♦	♦	♦	29	<i>Callialasporites turbatus</i>	33 <i>Lycopodiacyclides rugulatus</i>			
♦♦		♦	♦	♦	30	<i>Exesipollenites tumulus</i>	34 <i>Lycopodiumspores austroclavatidites</i>			
♦♦		♦	♦	♦	31	<i>Exesipollenites</i> spp.	35 <i>Lycopodiumspores cleatoides</i>			
♦♦		♦	♦	♦	32	<i>Ischyrospora variegatus</i>	38 <i>Lycopodiumspores reticulumsporites</i>			
♦♦		♦	♦	♦	33	<i>Lycopodiacyclides rugulatus</i>	39 <i>Lycopodiumspores semimuris</i>			
♦♦		♦	♦	♦	34	<i>Lycopodiumspores austroclavatidites</i>	37 <i>Neoraistrickia</i> spp.			
♦♦		♦	♦	♦	35	<i>Lycopodiumspores cleatoides</i>	40 <i>Neoraistrickia taylori</i>			
♦♦		♦	♦	♦	36	<i>Uvaeosporites argenteaformis</i>	24 <i>Obtusisporis juncta</i>			
♦♦		♦	♦	♦	37	<i>Neoraistrickia</i> spp.	16 <i>Osmundacites wellmanni</i>			
♦♦		♦	♦	♦	38	<i>Lycopodiumspores reticulumsporites</i>	17 <i>Perinopollenites elatoides</i>			
♦♦		♦	♦	♦	39	<i>Lycopodiumspores semimuris</i>	18 <i>Quadraeculina anellaeformis</i>			
♦♦		♦	♦	♦	40	<i>Neoraistrickia taylori</i>	44 <i>Staphisporites caminus</i>			
♦♦		♦	♦	♦	41	<i>Deltoidospora australis</i>	1 <i>Stereisporites</i> spp.			
♦♦		♦	♦	♦	42	<i>Kekryphalospora distincta</i>	19 <i>Todisporites minor</i>			
♦♦		♦	♦	♦	43	<i>Leptolepidites verrucatus</i>	20 <i>Tritites ranverrucatus</i>			
♦♦		♦	♦	♦	44	<i>Staphisporites caminus</i>	36 <i>Uvaeosporites argenteaformis</i>			
Aufgearbeitete Palynomorphe										
♦♦	♦	♦	♦	♦	♦	Densospores spp.				
♦♦	♦	♦	♦	♦	♦	Murospora spp.				
♦						Padizosporites sp.				
♦						Schulzospora sp.				
♦						Triadispora sp.				
♦						Triparites spp.				

Tf. 2. Palynostratigraphische Range-Chart «Dogger β», Bohrung Herdern-1.

Aalénien	Bajocien			Stufe
Opalinum – Murchisonae	Discites – untere Laeviuscula	höhere Laeviuscula – Sauzei	Ammoniten-Zone	
1910,40 m	1885,90 m (A)	1885,90 m (B)	1885,60 m	Teufe
Dinoflagellatenzysten				
♦			1 <i>Nannoceratopsis triceras</i>	7 <i>Batiacasphaera</i> sp. 1 (glatt)
♦			2 <i>Schinocassis limbicavatus</i>	12 <i>Batiacasphaera</i> sp. 2 (ornamentiert)
♦	♦		3 <i>Nannoceratopsis plegas</i>	9 <i>Dissiliodinium giganteum</i>
♦	♦♦	♦	4 <i>Kallosphaeridium praussii</i>	10 <i>Dissiliodinium</i> sp. A in FEIST-BURKHARDT 1990
♦♦			5 <i>Nannoceratopsis gracilis</i>	13 <i>Durotrigia daveyi</i>
♦♦			6 <i>Nannoceratopsis</i> spp.	11 <i>Gongylokinium erymnoteichos</i>
♦♦			7 <i>Batiacasphaera</i> sp. 1 (glatt)	4 <i>Kallosphaeridium praussii</i>
			8 <i>Valvaeodinium vermicellatum</i>	14 <i>Mancodiumnum semitubulatum</i>
			9 <i>Dissiliodinium giganteum</i>	5 <i>Nannoceratopsis gracilis</i>
			10 <i>Dissiliodinium</i> sp. A in FEIST-BURKHARDT 1990	3 <i>Nannoceratopsis plegas</i>
			11 <i>Gongylokinium erymnoteichos</i>	6 <i>Nannoceratopsis</i> spp.
			12 <i>Batiacasphaera</i> sp. 2 (ornamentiert)	1 <i>Nannoceratopsis triceras</i>
			13 <i>Durotrigia daveyi</i>	15 <i>Pareodinia</i> sp.
			14 <i>Mancodiumnum semitubulatum</i>	2 <i>Scrinocassis limbicavatus</i>
			15 <i>Pareodinia</i> sp.	8 <i>Valvaeodinium vermicellatum</i>
Andere aquatische Palynomorphe				
♦	♦		<i>Botryococcus</i>	
♦			<i>Cymatosphaera</i> spp.	
	♦		Foraminiferentapeten	
	♦		<i>Fromea tornatilis</i>	
♦			<i>Kalyptea halosa</i>	
♦	♦	♦	<i>Microthyridium</i> spp./ <i>Baltisphaeridium</i> spp.	
♦♦	♦	♦	<i>Tasmanites</i>	
Pollen und Sporen				
♦			1 <i>Foveospores</i> spp.	2 <i>Araucariacites australis</i>
♦♦	♦♦	♦	2 <i>Araucariacites australis</i>	3 bisaccate Pollenkörner
♦♦	♦♦	♦	3 bisaccate Pollenkörner	4 <i>Calillasporites dampieri</i>
♦♦	♦	♦	4 <i>Calillasporites dampieri</i>	5 <i>Calillasporites microvelatus</i>
♦			5 <i>Calillasporites microvelatus</i>	6 <i>Calillasporites minor</i>
♦			6 <i>Calillasporites minor</i>	7 <i>Calillasporites segmentatus</i>
♦			7 <i>Calillasporites segmentatus</i>	8 <i>Calillasporites turbatus</i>
♦			8 <i>Calillasporites turbatus</i>	9 <i>Cerebropollenites mesozoicus</i>
♦♦	♦	♦	9 <i>Cerebropollenites mesozoicus</i>	10 <i>Chasmatosporites apertus</i>
♦			10 <i>Chasmatosporites apertus</i>	11 <i>Chasmatosporites tians</i>
♦♦			11 <i>Chasmatosporites tians</i>	12 <i>Classopolis torosus</i>
♦♦	♦	♦	12 <i>Classopolis torosus</i>	30 <i>Conbacularisporites</i> spp.
♦	♦♦		13 <i>Concavispores</i> spp.	13 <i>Concavispores</i> spp.
♦			14 <i>Concavismisporites subgranulosus</i>	14 <i>Concavismisporites subgranulosus</i>
♦♦	♦		15 <i>Deltoidospora minor</i>	15 <i>Deltoidospora minor</i>
♦			16 <i>Dictyophyllidites harrisii</i>	16 <i>Dictyophyllidites harrisii</i>
♦♦	♦		17 <i>Exesipollenites scabratus</i>	29 <i>Duplexisporites problematicus</i>
♦			18 <i>Ischyrosporites variegatus</i>	17 <i>Exesipollenites scabratus</i>
♦	♦	♦	19 <i>Lycopodiumsporites austroclavatidites</i>	28 <i>Exesipollenites tumulus</i>
♦			20 <i>Lycopodiumsporites clavatoides</i>	1 <i>Foveospores</i> spp.
♦♦	♦♦	♦	21 <i>Osmundacitites wellmanni</i>	18 <i>Ischyrosporites variegatus</i>
♦♦	♦♦	♦	22 <i>Perinopollenites elatoides</i>	31 <i>Leptolepidites</i> spp.
♦			23 <i>Quadraceolina annulaeformis</i>	25 <i>Lycopodiumsporites rugulatus</i>
♦	♦	♦	24 <i>Todisporites minor</i>	19 <i>Lycopodiumsporites austroclavatidites</i>
♦			25 <i>Lycopodiumsporites rugulatus</i>	20 <i>Lycopodiumsporites clavatoides</i>
♦			26 <i>Lycopodiumsporites semimuris</i>	26 <i>Lycopodiumsporites semimuris</i>
♦			27 <i>Neorastrikrickia grishorvensis</i>	27 <i>Neorastrikrickia grishorvensis</i>
♦			28 <i>Exesipollenites tumulus</i>	21 <i>Osmundacitites wellmanni</i>
			29 <i>Duplexisporites problematicus</i>	22 <i>Perinopollenites elatoides</i>
			30 <i>Conbacularisporites</i> spp.	23 <i>Quadraceolina annulaeformis</i>
			31 <i>Leptolepidites</i> spp.	32 <i>Staplinisporites caminus</i>
			32 <i>Staplinisporites caminus</i>	24 <i>Todisporites minor</i>
Aufgearbeitete Palynomorphe				
♦			<i>Densospores</i> spp.	

Tf. 3. Palynostratigraphische Range-Chart «Dogger β», Bohrung Berlingen-1.

nen Dinoflagellatenzysten-Arten wie *Nannoceratopsis* spp. und *Batiacasphaera* spp. treten *Dissiliodinium* spp., *Evansia* spp., *Durotrigia daveyi* und *Gongylokinium erymnoteichos* gehäuft auf. Die Art *Durotrigia daveyi* erscheint zum ersten Mal in der höheren Laeviuscula-Zone. *Dissiliodinium giganteum* ist aus Schichten der Discites-, Laeviuscula- und Sauzei-Zone bekannt. Diese Daten sprechen für eine Einstufung der Probe in die höhere Laeviuscula- bis Sauzei-Zone.

Die Grenze Aalénien/Bajocien kann im Profil Kreuzlingen palynostratigraphisch nicht genau festgelegt werden. Die *Concavum*-, die Discites- und die untere Laeviuscula-Zone können in den bearbeiteten Proben nicht positiv nachgewiesen werden. Die im fraglichen Bereich liegenden Proben 2150,32 bis 2150,10 m ergaben nicht genügend und nicht hinreichend gut erhaltenes Material, um eine genaue palynostratigraphische Aussage treffen zu können.

Aalénien				Bajocien		Stufe					
Opalinum – Murchisonae				höhere Laeviuscula – Sauzel		Ammoniten-Zone					
2173,95 m	2173,10 m	2166,30 m	2159,35 m	2155,95 m	2154,60 m	2153,20 m	2150,32 m	2150,10 m	2149,83 m	2149,50 m	Teufe
Dinoflagellatenzysten											
♦	♦	♦	♦	♦	♦	♦	♦	♦	1	Nannoceratopsis serex	14 Andreadinium elongatum
♦♦♦	♦♦♦	♦♦♦	♦♦♦	♦♦♦	♦♦♦	♦♦♦	♦♦♦	♦♦♦	2	Nannoceratopsis plegas	13 Baticasphaera sp. 1 (glatt)
♦	♦	?	♦	♦	♦	♦	♦	♦	4	Kaliophaenidium prausii	12 Baticasphaera sp. 2 (ornamentiert)
♦	♦	♦	♦	♦	♦	♦	♦	♦	5	Mancodium semitubulatum	23 Dissiliodium giganteum
♦♦♦	♦♦♦	♦♦♦	♦♦♦	♦♦♦	♦♦♦	♦♦♦	♦♦♦	♦♦♦	6	Nannoceratopsis cf. sexex	22 Dissiliodium sp. A in FEIST-BURKHARDT 1990
♦♦♦	♦♦♦	♦♦♦	♦♦♦	♦♦♦	♦♦♦	♦♦♦	♦♦♦	♦♦♦	7	Nannoceratopsis gracilis	26 Durotrigia daveyi
♦	♦	♦	♦	♦	♦	♦	♦	♦	8	Nannoceratopsis spp.	24 Evansia (?) eschachensis
♦	♦	♦	♦	♦	♦	♦	♦	♦	9	Nannoceratopsis triceras	25 Evansia (?) spongogranulata
♦	♦	♦	♦	♦	♦	♦	♦	?	10	Scrinocassis weberi	28 Gongyliodinium erymnoteichos
♦	♦	♦	♦	♦	♦	♦	♦	♦	11	Baticasphaera sp. 2 (ornamentiert)	16 Kaliophaenidium caputatum s. PRAUSS 1989
♦♦♦	♦♦♦	♦♦♦	♦♦♦	♦♦♦	♦♦♦	♦♦♦	♦♦♦	♦♦♦	12	Baticasphaera sp. 1 (glatt)	4 Kaliophaenidium prausii
♦	♦	♦	♦	♦	♦	♦	♦	♦	13	Mancodium semitubulatum	5 Mancodium semitubulatum
♦	♦	♦	♦	♦	♦	♦	♦	♦	14	Andreadinium elongatum	20 Nannoceratopsis dichiyambonis
♦	♦	♦	♦	♦	♦	♦	♦	♦	15	Nannoceratopsis dichiyambonis	16 Nannoceratopsis cf. sexex
♦	♦	♦	♦	♦	♦	♦	♦	♦	16	Kaliophaenidium caputatum s. PRAUSS 1989	15 Nannoceratopsis dichiyambonis
♦	♦	♦	♦	♦	♦	♦	♦	♦	17	Scrinocassis plicans	7 Nannoceratopsis gracilis
♦	♦	♦	♦	♦	♦	♦	♦	♦	18	Nannoceratopsis ambonis	2 Nannoceratopsis plegas
?	?	?	?	?	?	?	?	?	19	Scrinocassis limbicavatus	
♦	♦	♦	♦	♦	♦	♦	♦	♦	20	Durotrigia daveyi	
♦	♦	♦	♦	♦	♦	♦	♦	♦	21	Scrinocassis limbicavatus	
♦	♦	♦	♦	♦	♦	♦	♦	♦	22	Gongyliodinium erymnoteichos	
♦	♦	♦	♦	♦	♦	♦	♦	♦	23	Paredonia sp.	17 Scrinocassis plicans
?	?	?	?	?	?	?	?	?	24	Paredonia sp.	11 Scrinocassis weberi
Andere aquatische Palynomorphe											
♦	♦	♦	♦	♦	♦	♦	♦	♦	Botryococcus		
♦	♦	♦	♦	♦	♦	♦	♦	♦	Cymatosphaera spp.		
♦	♦	♦	♦	♦	♦	♦	♦	♦	Foraminiferentapen		
♦	♦	♦	♦	♦	♦	♦	♦	♦	Fromea tornatilis		
♦	♦	♦	♦	♦	♦	♦	♦	♦	Kalyptea halosa		
♦	♦	♦	♦	♦	♦	♦	♦	♦	Microthyridium spp./Baltisphaeridium spp.		
♦	♦	♦	♦	♦	♦	♦	♦	♦	Polysphaeridium deflandrei		
♦	♦	♦	♦	♦	♦	♦	♦	♦	Tasmanites		
Pollen und Sporen											
♦	♦	♦	♦	♦	♦	♦	♦	♦	Obtusisporites juncta	45 Acanthofloretes varus	
♦	♦	♦	♦	♦	♦	♦	♦	♦	Uvaesporites argenteaformis	9 Anapicalisporites telephorus	
♦	♦	♦	♦	♦	♦	♦	♦	♦	Conbaculatisporites spp.	18 Araucaracites australis	
♦	♦	♦	♦	♦	♦	♦	♦	♦	Neorestrickia sp.	19 bisaccate Pollenkörner	
♦	♦	♦	♦	♦	♦	♦	♦	♦	Densisporites velatus	44 Calamospores tener	
♦	♦	♦	♦	♦	♦	♦	♦	♦	Stereisporites spp.	20 Callialasporites dampieri	
♦	♦	♦	♦	♦	♦	♦	♦	♦	Chasmatoспорites apertus	21 Callialasporites microvelatus	
♦	♦	♦	♦	♦	♦	♦	♦	♦	Foveolaspores spp.	22 Callialasporites minor	
♦	♦	♦	♦	♦	♦	♦	♦	♦	9 Anapicalisporites telephorus	10 Callialasporites segmentatus	
♦	♦	♦	♦	♦	♦	♦	♦	♦	10 Callialasporites segmentatus	14 Callialasporites turbatus	
♦	♦	♦	♦	♦	♦	♦	♦	♦	11 Concavisporites subgranulosus	23 Cerebropollenites mesozoicus	
♦	♦	♦	♦	♦	♦	♦	♦	♦	12 Duplexporites problematicus	7 Chasmatoспорites apertus	
♦	♦	♦	♦	♦	♦	♦	♦	♦	13 Exesporites scabratus	24 Chasmatoспорites hians	
♦	♦	♦	♦	♦	♦	♦	♦	♦	14 Callialasporites turbatus	35 Classopollis torosus	
♦	♦	♦	♦	♦	♦	♦	♦	♦	15 Osmundacolites wellmanni	3 Conbaculatisporites spp.	
♦	♦	♦	♦	♦	♦	♦	♦	♦	16 Toidisporites minor	25 Concavisporites spp.	
♦	♦	♦	♦	♦	♦	♦	♦	♦	17 Kekryphalospora distincta	11 Concavisporites subgranulosus	
♦	♦	♦	♦	♦	♦	♦	♦	♦	18 Araucaracites australis	46 Cycadopites spp.	
♦♦♦	♦♦♦	♦♦♦	♦♦♦	♦♦♦	♦♦♦	♦♦♦	♦♦♦	♦♦♦	19 bisaccate Pollenkörner	43 Deltodispora australis	
♦♦♦	♦♦♦	♦♦♦	♦♦♦	♦♦♦	♦♦♦	♦♦♦	♦♦♦	♦♦♦	20 Callialasporites dampieri	26 Deltodispora minor	
♦♦♦	♦♦♦	♦♦♦	♦♦♦	♦♦♦	♦♦♦	♦♦♦	♦♦♦	♦♦♦	21 Callialasporites microvelatus	5 Densisporites velatus	
♦♦♦	♦♦♦	♦♦♦	♦♦♦	♦♦♦	♦♦♦	♦♦♦	♦♦♦	♦♦♦	22 Callialasporites minor	27 Dictyophyllites harrisii	
♦♦♦	♦♦♦	♦♦♦	♦♦♦	♦♦♦	♦♦♦	♦♦♦	♦♦♦	♦♦♦	23 Cerebropollenites mesozoicus	38 Dictyophyllites mortoni	
♦♦♦	♦♦♦	♦♦♦	♦♦♦	♦♦♦	♦♦♦	♦♦♦	♦♦♦	♦♦♦	24 Chasmatoспорites hians	12 Duplexporites problematicus	
♦♦♦	♦♦♦	♦♦♦	♦♦♦	♦♦♦	♦♦♦	♦♦♦	♦♦♦	♦♦♦	25 Concavisporites spp.	13 Exesporites scabratus	
♦♦♦	♦♦♦	♦♦♦	♦♦♦	♦♦♦	♦♦♦	♦♦♦	♦♦♦	♦♦♦	26 Deltodispora minor	27 Exesporites tumulus	
♦♦♦	♦♦♦	♦♦♦	♦♦♦	♦♦♦	♦♦♦	♦♦♦	♦♦♦	♦♦♦	28 Deltodispora minor	8 Foveolaspores spp.	
♦♦♦	♦♦♦	♦♦♦	♦♦♦	♦♦♦	♦♦♦	♦♦♦	♦♦♦	♦♦♦	29 Ischyrosporites variegatus	40 Heliosporites altmarkensis	
♦♦♦	♦♦♦	♦♦♦	♦♦♦	♦♦♦	♦♦♦	♦♦♦	♦♦♦	♦♦♦	30 Leptolepidites spp.	29 Ischyrosporites variegatus	
♦♦♦	♦♦♦	♦♦♦	♦♦♦	♦♦♦	♦♦♦	♦♦♦	♦♦♦	♦♦♦	31 Lycopodiumspores austroclavatidites	17 Kekryphalospora distincta	
♦♦♦	♦♦♦	♦♦♦	♦♦♦	♦♦♦	♦♦♦	♦♦♦	♦♦♦	♦♦♦	32 Perinapolites elatoides	30 Leptolepidites spp.	
♦♦♦	♦♦♦	♦♦♦	♦♦♦	♦♦♦	♦♦♦	♦♦♦	♦♦♦	♦♦♦	33 Quadraeulina anellaeformis	37 Lycopodiacyclites rugulatus	
♦♦♦	♦♦♦	♦♦♦	♦♦♦	♦♦♦	♦♦♦	♦♦♦	♦♦♦	♦♦♦	34 Vitreisporites pallidus	31 Lycopodiumspores austroclavatidites	
♦♦♦	♦♦♦	♦♦♦	♦♦♦	♦♦♦	♦♦♦	♦♦♦	♦♦♦	♦♦♦	35 Cissopollis torosus	36 Lycopodiumspores clavatoides	
♦♦♦	♦♦♦	♦♦♦	♦♦♦	♦♦♦	♦♦♦	♦♦♦	♦♦♦	♦♦♦	36 Lycopodiumspores clavatoides	4 Neorestrickia sp.	
♦♦♦	♦♦♦	♦♦♦	♦♦♦	♦♦♦	♦♦♦	♦♦♦	♦♦♦	♦♦♦	37 Lycopodiacyclites rugulatus	1 Obrusaspores juncta	
♦♦♦	♦♦♦	♦♦♦	♦♦♦	♦♦♦	♦♦♦	♦♦♦	♦♦♦	♦♦♦	38 Dicyphyllites mortoni	15 Osmundacolites wellmanni	
♦♦♦	♦♦♦	♦♦♦	♦♦♦	♦♦♦	♦♦♦	♦♦♦	♦♦♦	♦♦♦	39 Staphisporites caminus	32 Perinapolites elatoides	
♦♦♦	♦♦♦	♦♦♦	♦♦♦	♦♦♦	♦♦♦	♦♦♦	♦♦♦	♦♦♦	40 Heliosporites altmarkensis	33 Quadraeulina anellaeformis	
♦♦♦	♦♦♦	♦♦♦	♦♦♦	♦♦♦	♦♦♦	♦♦♦	♦♦♦	♦♦♦	41 Toidisporites major	39 Staphisporites caminus	
♦♦♦	♦♦♦	♦♦♦	♦♦♦	♦♦♦	♦♦♦	♦♦♦	♦♦♦	♦♦♦	42 Triletes ranverrucatus	6 Stereisporites spp.	
♦♦♦	♦♦♦	♦♦♦	♦♦♦	♦♦♦	♦♦♦	♦♦♦	♦♦♦	♦♦♦	43 Deltodispora australis	41 Toidisporites major	
♦♦♦	♦♦♦	♦♦♦	♦♦♦	♦♦♦	♦♦♦	♦♦♦	♦♦♦	♦♦♦	44 Calamospores tener	16 Toidisporites minor	
♦♦♦	♦♦♦	♦♦♦	♦♦♦	♦♦♦	♦♦♦	♦♦♦	♦♦♦	♦♦♦	45 Acanthofloretes varus	42 Triletes ranverrucatus	
♦♦♦	♦♦♦	♦♦♦	♦♦♦	♦♦♦	♦♦♦	♦♦♦	♦♦♦	♦♦♦	46 Cycadopites spp.	2 Uvaesporites argenteaformis	
♦♦♦	♦♦♦	♦♦♦	♦♦♦	♦♦♦	♦♦♦	♦♦♦	♦♦♦	♦♦♦	47 Ricciisporites tuberculatus	34 Vitreisporites pallidus	
Aufgearbeitete Palynomorphe											
♦	♦	♦	♦	♦	♦	♦	♦	♦	Densisporites spp.		
♦	♦	♦	♦	♦	♦	♦	♦	♦	Tripartites spp.		
♦	♦	♦	♦	♦	♦	♦	♦	♦	Murosphaera spp.		
♦	♦	♦	♦	♦	♦	♦	♦	♦	Radizontates sp.		
?	?	?	?	?	?	?	?	?	Aratrisporites sp.		
?	?	?	?	?	?	?	?	?	Triadisporites sp.		
?	?	?	?	?	?	?	?	?	Ricciisporites tuberculatus		

Tf. 4. Palynostratigraphische Range-Chart «Dogger β», Bohrung Kreuzlingen-1.

7.2 Ammoniten

Der einzige bestimmbare Ammonit liefert nur wenig stratigraphische Information: *Ludwigia (Brasilia)* sp. aus Horizont Her D₂ vertritt die obere Murchisonae-Zone.

7.3 Sequenzstratigraphie

7.3.1 Methode

Die Omissions- und Regressionsdiskontinuitäten – durch ihre jeweilige Stellung innerhalb einer Parasequenz definiert – eignen sich innerhalb eines bekannten biostratigraphischen Rahmens zur Abgrenzung und Korrelation von «unconformity-bounded units» (allostratigraphische Einheiten, vgl. Burkhalter 1996). Zusätzliche Hilfe bei der Korrelation bietet das «stacking pattern» von Parasequenzen (s. Homewood et al. 1992).

7.3.2 Die Sissach-Schichten als Referenz

Da die Concavum-Zone fehlt oder stark kondensiert ist, wird der «Dogger β» beim Vergleich mit dem Nordjura nur mit den Sissach-Schichten korreliert (vgl. Tab. 2). Die grösstenteils oberhalb der Sturmwellenbasis abgelagerten Sissach-Schichten sind an ihrer Basis durch eine markante Regressionsdiskontinuität begrenzt, die sie scharf vom liegenden, unter niedrigenergetischen Verhältnissen abgelagerten Opalinus-Ton trennt. Dieser Horizont lässt sich von westlich der Ajoie bis in die Nordostschweiz verfolgen. Er ist leicht heterochron: Westlich der Ajoie liegt er in der Opalinum-Subzone, im nördlichen Jura bildet er die Grenze zwischen Opalinum- und Comptum-Subzone und weiter gegen Nordosten liegt er wahrscheinlich innerhalb der Comptum-Subzone (Burkhalter 1996).

Die obere Grenze der Sissach-Schichten wird durch eine Omissionsdiskontinuität gebildet, die ebenfalls weitflächig verbreitet ist. Sie liegt in der obersten Murchisonae-Zone.

Innerhalb dieser beiden «Grenzdiskontinuitäten» bestehen die Sissach-Schichten dort, wo sie vollständig entwickelt sind (Kanton Basel-Landschaft), aus zweieinhalf Parasequenzen – der untere Teil der untersten Parasequenz gehört, da die Untergrenze der Sissach-Schichten an einer Regressionsdiskontinuität gezogen wird, noch zum Opalinus-Ton –, d.h. es treten zwei weitere Omissionsdiskontinuitäten auf. In jeder Parasequenz nimmt die mittlere Quarzkorngrösse nach oben zu; die übergeordnete Zunahme der Werte innerhalb der Sissach-Schichten lässt zudem ein «stacking pattern» erkennen.

Über weite Gebiete des Juras fehlen jedoch Parasequenzen oder Teile davon durch länger anhaltende Omission (Kap. 5.3.4). Es sind vorwiegend die oberen Parasequenzen davon betroffen, d.h., dass die internen Omissionsdiskontinuitäten nach oben zusammenlaufen und so mit der abschliessenden Omissionsdiskontinuität einen Kondensationshorizont bilden. Da sich die Übergänge von nichtkondensierten in kondensierte Ablagerungen z.T. über kurze Distanz vollziehen (Burkhalter 1996), ist ein möglichst engmaschiges Aufschlussnetz mit

Korrelationsdistanzen von maximal wenigen Kilometern nötig, sonst ist eine sichere Parallelisierung nicht mehr gewährleistet.

7.3.3 Abgrenzung und Korrelation

Die Horizonte Her C, Ber A und Kre A werden aufgrund ihrer Lage als unterste Regressionsdiskontinuität im «Dogger β» mit der Untergrenze der Sissach-Schichten parallelisiert. Die Untergrenze des «Dogger β» wird an der Unterkante dieses Horizonts gezogen (vgl. Burkhalter 1996). Her D₂, Ber D und Kre G₁ entsprechen – unter Berücksichtigung der biostratigraphischen Datierungen – der Obergrenze der Sissach-Schichten. Die Obergrenze des «Dogger β» (im lithostratigraphischen Sinn) wird an den Top dieser Dachbank (Omissionsdiskontinuität) gelegt.

Bei Her D₃, Kre G₂ und Kre G₃ sowie dem oberen Teil von Ber D handelt es sich aufgrund der palynostratigraphischen Resultate um Kondensationshorizonte, in welchen die Concavum-Zone (Herdern) bzw. die Concavum-, Discites- und untere Laeviuscula-Zone (Berlingen, Kreuzlingen) kondensiert sind (oder möglicherweise z.T. auch fehlen). Es ist denkbar, dass – besonders bei Ber D – die oberste Dachbank des «Dogger β» im Verlauf der länger anhaltenden Omission im späten Aalénien und frühen Bajocien aufgearbeitet wurde. Die übergeordnete Zunahme der mittleren Quarzkorngrösse innerhalb der Abfolge, bei den Sissach-Schichten fast durchwegs vorhanden und als zusätzliche Korrelationshilfe zu gebrauchen, ist einzig in der Bohrung Berlingen zu beobachten. In Herdern liegt der «Dogger β» nur als halbe Parasequenz vor, und in Kreuzlingen wird der Maximalwert unterhalb des Daches des «Dogger β» erreicht.

Die einzelnen Parasequenzen können nur zwischen den Bohrungen Herdern und Berlingen korreliert werden. In diesen beiden Bohrungen treten jeweils weniger als die zweieinhalf Parasequenzen auf, die bei vollständiger Ausbildung der Sissach-Schichten vorhanden sind. Aus Analogie zu den Verhältnissen im Jura (Kap. 7.3.2) ist anzunehmen, dass die fehlenden Parasequenzen in der markant entwickelten Dachbank im Hangenden des «Dogger β» kondensiert sind. Biostratigraphisch belegen lässt sich diese Vermutung jedoch nicht (vgl. Kap. 7.1.1). Anders als im gesamten Gebiet zwischen Ajoie und der Nordostschweiz sind in der Bohrung Kreuzlingen vier-einhalf Parasequenzen, also zwei «zuviel» vorhanden. Diese Verhältnisse werfen Fragen auf, die im Rahmen dieses Artikels nur teilweise beantwortet werden können, nämlich zu den Bildungsmechanismen von Parasequenzen, zur stratigraphischen Gliederung der untersuchten Einheit sowie zur detaillierten Korrelation mit Süddeutschland, wo im «Dogger β» der östlichen Schwäbischen Alb z.T. ebenfalls mehr als zweieinhalf Parasequenzen vorliegen (vgl. Bayer & McGhee 1984).

7.3.4 «Überzählige» Parasequenzen – Diskussion und Interpretation

Aus stratigraphischen Überlegungen ist es wichtig zu wissen, auf welcher relativen hierarchischen Stufe (vgl. Miall 1997)

sich die zusätzlichen Parasequenzen befinden, und welches die Gründe für die Vervielfachung sind. Bezuglich der Hierarchie fallen zwei Möglichkeiten in Betracht: (1) Die zusätzlichen Parasequenzen sind auf der gleichen hierarchischen Stufe wie die übrigen, d.h. ihnen liegen Meeresspiegelschwankungen 4. Ordnung zugrunde, was bedeuten würde, dass sie im gesamten Gebiet zwischen der Ajoie und Berlingen – wohl am Top der Sissach-Schichten – kondensiert wären. (2) Es handelt sich um hierarchisch untergeordnete Parasequenzen, d.h. um eine Vervielfachung von normalen Parasequenzen.

In der Passwang-Alloformation (Kap. 2) repräsentiert eine durch Meeresspiegelschwankungen 4. Ordnung gebildete Parasequenz eine mittlere Zeitspanne von etwa 0,85 Ma, die durchschnittliche, arithmetisch ermittelte Dauer einer Ammoniten-Biozone im Aalénien und Bajocien entspricht etwa 1,2 Ma (Burkhalter 1996). Im zentralen Teil des Kantons Basel-Landschaft, wo die Sissach-Schichten und ihr Hangendes nicht kondensiert sind, fehlen jedoch Anzeichen für eine längere Sedimentationsunterbrechung zwischen der Murchisonae- und der Concavum-Zone.

Somit kann davon ausgegangen werden, dass es sich um hierarchisch untergeordnete Parasequenzen handelt, für deren Bildung besondere Verhältnisse im Zusammenspiel von Subsidenz oder Meeresspiegelschwankungen verantwortlich waren, und zwar in Form von differentieller Subsidenz bzw. von Interferenz zwischen der dominierenden und höherfrequenten Meeresspiegelschwankungsfrequenzen. Für das Wirken beider Prozesse liegen in verschiedenen stratigraphischen Einheiten im Nordschweizer Jura Hinweise vor: im Opalinus-Ton (Bläsi 1987, Allia 1996, Burkhalter 1996), in der Passwang-Alloformation (Burkhalter 1993, 1996), im Hauptrogenstein (Gonzalez 1993) und im «Oxfordien» (Pittet 1994).

Mit den folgenden zwei Szenarien soll gezeigt werden, auf welche Weise der jeweilige Faktor eine Verdoppelung einer Parasequenz bewirken kann.

Differentielle Subsidenz

Durch lokal verstärkte Subsidenz während der Sandschüttung (d. h. bei niedrigem relativem Meeresspiegel) wird ein durch Monoklinale (Flexuren) oder Brüche begrenztes Gebiet unter die Sturmwellenbasis abgesenkt. Voraussetzung hierfür ist, dass die Absenkungsbewegung rascher als die Sedimentakkumulation verläuft, so dass sich im Ablagerungsraum ein Relief entwickelt. In dieser Senke, die als Sedimentfalle wirkt, wird erneut Ton abgelagert und anschliessend, von den höher liegenden Flanken eingebbracht, wiederum Sand. Auf diese Weise werden im rascher subsidierenden Gebiet zwei Parasequenzen gebildet (vgl. Funk et al. in Bayer et al. 1983), während auf der langsamer subsidierenden Hochzone gleichzeitig nur eine entsteht (durch Meeresspiegelschwankung).

Einfluss höherfrequenter Meeresspiegelschwankungen

Die Überlagerung der Meeresspiegelzyklen 4. Ordnung durch solche 5. Ordnung kann bewirken, dass bei einem allgemeinen

Meeresspiegeltiefstand bei bestimmten Gegebenheiten die höherfrequenten Zyklen im Sediment abgebildet werden (Fig. 9). Voraussetzungen hierfür sind:

- Ein günstiges Verhältnis der Phasen der beiden Meeresspiegelzyklen, so dass in den Zeitraum des übergeordneten Tiefstandes zwei untergeordnete Tieftände zu liegen kommen.
- Die bathymetrische Stellung der Sedimentoberfläche nahe der maximalen (mittleren) Tiefe der Sturmwellenbasis.
- Eine Subsidenzrate, die einerseits die Verminderung der Akkommodation durch den fallenden Meeresspiegel (bzw. die Absenkung der Sturmwellenbasis) zulässt, andererseits genügend hoch ist, damit – bei genügender Sedimentakkumulation – die gebildeten Parasequenzen 5. Ordnung erhalten bleiben.
- Genügend Zeit zur Ausbildung eines Gleichgewichts zwischen hydrodynamischem Regime und Sediment.

Evaluation der beiden Szenarien

Voraussetzung für eine Verdoppelung von Parasequenzen durch differentielle Subsidenz ist die Absenkung eines Areals zum Zeitpunkt der Sandsedimentation, d. h. während des relativen Meeresspiegeltiefstands. Wenn die Absenkung während eines relativen Hochstandes des Meeresspiegels, d.h. während der Phase der Tonsedimentation vor sich geht, ist dagegen nur ein Mächtigkeitssprung in der Tonsteinfazies zu erwarten. Da Meeresspiegelschwankungen und Subsidenz im wesentlichen unabhängig voneinander verlaufen, ist es eher unwahrscheinlich, dass sich durch differentielle Subsidenz in einem Profil gleich zwei zusätzliche Parasequenzen bilden. Im weiteren steht die Eigenschaft der abgesunkenen Scholle als Sedimentfalle im Widerspruch zur Ausbildung von Aufarbeitungshorizonten (Omissionsdiskontinuitäten) am Top der Parasequenzen.

Im Falle des Einflusses höherfrequenter Meeresspiegelschwankungen sind die in den Parasequenzen auftretenden Omissions- und Regressionsdiskontinuitäten besser zu erklären. Diese Diskontinuitätstypen, erstmals (und mit anderen Namen) für Sequenzen 3. Ordnung beschrieben (Van Wagoner et al. 1988), bilden sich offenbar massstabsunabhängig. Im Prinzip wären zwischen Diskontinuitäten, die durch Meeresspiegelschwankungen 3., 4. und 5. Ordnung verursacht wurden, Unterschiede in der Ausbildung («Reife») zu erwarten. In der Praxis ist jedoch die Unterscheidung zwischen Aufarbeitungshorizonten verschiedener Ordnung nur aufgrund fazieller Kriterien nicht mit Sicherheit möglich.

Weder das eine noch das andere Szenario lässt sich völlig ausschliessen, doch scheint der Einfluss höherfrequenter Meeresspiegelschwankungen aufgrund der obigen Argumente plausibler. Beiden Szenarien ist gemeinsam, dass die Verdoppelung der Parasequenzen in bathymetrisch tiefer liegenden Bereichen auftritt und somit auf ein Relief im Ablagerungsraum hinweist. Bezuglich der grösseren Zahl von Parasequenzen in der östlichen Schwäbischen Alb ist denkbar, dass sich dort ebenfalls höherfrequente Meeresspiegelschwankungen abzeichneten.

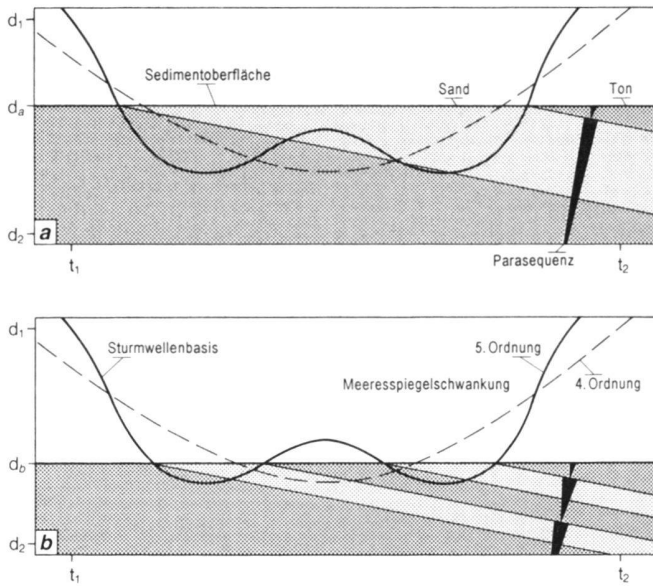


Fig. 9. Synchronie Bildung von Parasequenzen unterschiedlicher Ordnung im selben Ablagerungsraum.

Beide Diagramme stellen den gleichen Zeitabschnitt von ca. 0,3 Ma Dauer dar. (a) Höher gelegene bathymetrische Position: Bildung einer Parasequenz 4. Ordnung. (b) Tiefer gelegene bathymetrische Position: Bildung von zwei Parasequenzen 5. Ordnung (Erläuterung im Text). Die Konstruktion erfolgte nach den Vorlagen in Einsele (1985, 1992). Folgende, vereinfachende Annahmen liegen ihr zugrunde: (1) Die Sedimentationsrate ist konstant und gleich der Subsidenzrate. (2) Unterhalb der Sturmwellenbasis kommt Ton zur Ablagerung, darüber Sand. (3) Nur die Zyklen 5. Ordnung entsprechen dem tatsächlichen Gang des Meeresspiegels bzw. der parallel dazu verlaufenden Sturmwellenbasis.

7.4 Zusammenfassung der stratigraphischen Resultate

In allen drei Bohrungen liegt die litho-(bzw. allo-)stratigraphische Einheit «Dogger β» in der Comptum-Subzone (p.p.?) und der Murchisonae-Zone, d. h. sie entspricht – wie bereits vorweggenommen – den Sissach-Schichten (bzw. Murchisonae-Schichten s. str.) des Juras und der zentralen Nordschweiz. In den Bohrungen Herdern und Berlingen ist (sehr wahrscheinlich) der obere Teil der Murchisonae-Zone in der obersten Dachbank kondensiert. Die Concavum-Zone konnte in keinem der Profile nachgewiesen werden; sie fehlt entweder oder ist im Kondensationshorizont im Hangenden des «Dogger β» vertreten. In diesem Kondensationshorizont sind in den Bohrungen Berlingen und Kreuzlingen zudem die Discites- und die untere Laeviuscula-Zone kondensiert. In östlicher Richtung setzt sich dieser Horizont nach Süddeutschland fort, wo er «Sowerbyi-Oolith» genannt wird (z. B. Franz 1986, Geyer & Gwinner 1986). Richtung Westen erstreckt er sich bis in den östlichen Kanton Basel-Landschaft, wo die Sedimentation generell kontinuierlich verlief, und setzt im Passwanggebiet wieder ein. Im Untersuchungsgebiet wird der maximale zeitliche Umfang der Kondensation (ca. 4,5–5 Ma) am Ache-

berg bei Zurzach erreicht (Fig. 10). Aus Figur 10 geht weiter hervor, dass der «Dogger β» und seine Äquivalente nur in der Umgebung von Sissach vollständig in Form nichtkondensierter Sedimente vorhanden sind.

8. Sedimentationsraten und Dauer von Sedimentationsunterbrechungen

Aalénien- und Bajocien-Parasequenzen 4. Ordnung vertreten im Untersuchungsgebiet durchschnittlich ca. 0,85 Ma (Kap. 7.3.4). Für Parasequenzen höherer Ordnung liegen keine Angaben zur Bildungsdauer vor. In den Bohrungen Berlingen und Herdern tritt je eine Parasequenz 4. Ordnung auf, die vollständig innerhalb der gekernten Strecke liegt. In Berlingen ist diese 14,95 m mächtig, in Herdern 19,9 m (Kap. 6.4). Daraus ergeben sich durchschnittliche Sedimentationsraten von 17,6 bzw. 23,4 m/Ma. Bei diesen Zahlen sind weder die Dekompaktion des Sediments noch die nachträgliche Erosion von einigen Metern Sandstein im Dach der Parasequenz noch die Sedimentationsunterbrechungen bei der Bildung von Regressions- und Omissionsdiskontinuitäten (Kap. 5.3.4) berücksichtigt; somit dürften die wahren Werte um einiges höher gelegen haben. Im Vergleich dazu betrug die Sedimentationsrate des Opalinus-Tons (nicht dekompaaktiert), je nach Annahme der Ablagerungsdauer, etwa zwischen 80 und 120 m/Ma. In deutlichem Gegensatz zu diesen Werten steht die Nettosedimentakkumulationsrate von einigen wenigen dm/Ma im Kondensationshorizont im Hangenden des «Dogger β». Rechnet man mit einer mittleren Dauer einer Ammoniten-Biozone im Aalénien und Bajocien von 1,2 Ma (Kap. 7.3.4), so dauerte die Phase stark reduzierter Sedimentakkumulation bzw. völliger Omission etwa zwischen 2,5 (Herdern) und 3,5 Ma (Berlingen).

9. Isopachenkarte

9.1 Verwendete Grundlagen

Der Faltenjura-Anteil der verwendeten topographischen Basis wurde nach dem Rotationsmodell von Laubscher (1965) palinspastisch rekonstruiert (s. a. Burkhalter 1996); dadurch fehlt in diesem Bereich das Gewässernetz.

Nebst den Daten der drei untersuchten Bohrungen wurden Mächtigkeitsangaben aus folgenden Quellen übernommen: Erb (1958), Lemcke & Wagner (1961), Schneider (1962) und Kämpfe (1984) für das Gebiet östlich und nördlich des Bodensees (z. T. ausserhalb des Kartenausschnitts), Hahn (1971) und Feist-Burkhardt (1992) für den Eichberg (Wutachgebiet) sowie Genser (1966), Hofmann (1981) und Bläsi (1987) für das Gebiet zwischen Randen und dem Zusammenfluss von Aare und Rhein.

Die Mächtigkeitsangabe für die Bohrung Weiach weicht aufgrund einer Neudatierung mittels Palynomorphen (unveröff. Daten S. Feist-Burkhardt) und der Festlegung der Untergrenze nach sequenzstratigraphischen Kriterien leicht von dem in Matter et al. (1988a) publizierten Wert ab. Abweichungen

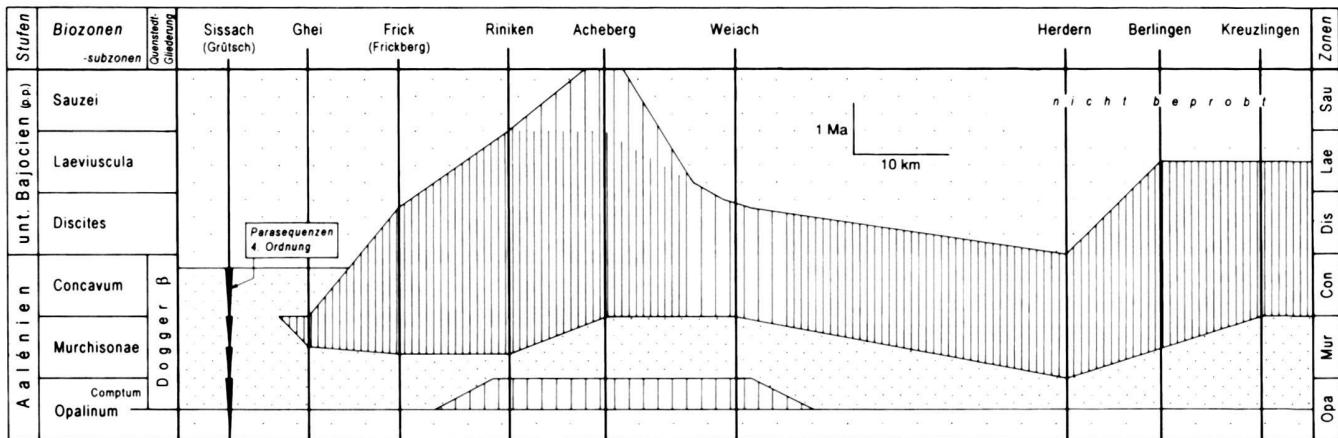
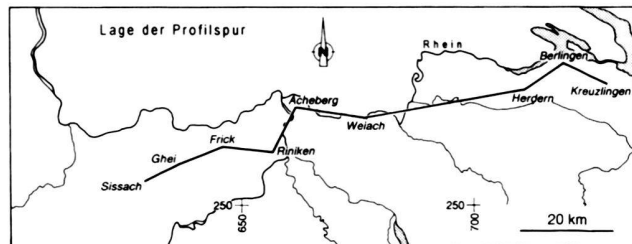


Fig. 10. Wheeler-Diagramm zur Verdeutlichung der Schichtlücken innerhalb des «Dogger β» (bzw. seiner Äquivalente, punktiert) und in dessen Hangenden. Engständige Schraffur: Ablagerungen aus dieser Zeit fehlen oder sind stark kondensiert (Mächtigkeit < 1 m); weitständige Schraffur: schwächer kondensierte Ablagerungen (Mächtigkeit ca. 1–4 m). Daten: Bader (1925), Matter et al. (1988a, b), Burkhalter (1996), S. Feist-Burkhardt (unveröff.) und diese Arbeit.



ergeben sich auch bei der Bohrung Lindau: Büchi et al. (1965) geben den Wert von c. 17.5 m. Gemäss den petrophysikalischen Logs ist ihre Grenzziehung nicht zwingend und insgesamt zu weit unten angesetzt. Die Mächtigkeit wird hier aufgrund der Logs auf ca. 10 m geschätzt.

Die Angaben für die Bohrung Altishofen, den Chestenberg, die Lägeren und die Bohrung Zurzach L3 stammen von Fischer & Luterbacher (1963), Jäckli (1966), Sentleben (1923) bzw. H. Schmassmann (mündl. Mitt.), diejenigen für den Nordjura westlich des Unterlaufs der Aare von Burkhalter (1996) und diejenigen für die Badische Vorbergzone von Contini (1967), Kämpfe (1984) und Ernst (1989).

Da Angaben zur Abgrenzung oder zum genauen stratigraphischen Umfang des «Dogger β» z.T. fehlen, sind bei den Mächtigkeitswerten aus Contini (1967), Schneider (1962) und Kämpfe (1984) gewisse Vorbehalte angebracht.

Nebst den Isopachen wurden dort, wo bekannt, Isolinien der Maximalwerte der mittleren Korngrösse im Dach des «Dogger β», der Sissach- und der Murchisonae-Schichten in die Karte eingetragen. Diese Werte eignen sich, mindestens im Nordjura, als Hilfsmittel bei der Korrelation und zur Interpretation der Schüttungsrichtung des Sandes (Burkhalter 1996).

9.2 Beschreibung und paläogeographische Interpretation

Die Isopachenkarte (Fig. 11) zeigt einen Streifen mit geringen Mächtigkeiten, welcher sich in SW-NE-Richtung aus dem Berner Jura bis in den Aargauer Tafeljura erstreckt. Faziell domi-

nieren im Bereich mit Mächtigkeiten < 5 m bioklastische Kalke (vorw. Enkriniten) und Eisenoolithe, im Bereich mit Mächtigkeiten zwischen 5 und 10 m Sandkalke und Tonsteine. Es handelt sich bei diesem Streifen um eine Hochzone (Burkhalter 1996), den nordöstlichen Ausläufer des «Haut-fond nord-jurassien» (Contini 1970), der möglicherweise in der von einigen Autoren postulierten Schwarzwald-Schwelle (vgl. Ernst 1990, Einsele & Bayer 1991) seine Fortsetzung fand.

Nordwestlich und nordöstlich an den «Haut-fond nord-jurassien» anschließend befinden sich zwei Bereiche, in denen vergleichsweise große Mächtigkeiten von > 20 m auftreten: das Oberelsässer Becken (Contini 1970) und das Gebiet zwischen Zurzach und der Lägeren. In diesen Bereichen dominieren Sandkalke.

Im Gebiet nordöstlich der Lägeren entsteht durch die geringe Datenmenge der Eindruck eines weiten Bereiches mit scheinbar gleichförmigen Mächtigkeiten zwischen 10 und 20 m; diese nehmen auf der Höhe des Bodensees, d.h. in Richtung des Schwäbischen Beckens, wiederum auf höhere Werte zu. Zwischen Weiach und dem Randengebiet überwiegen tonige Sedimente, im Bodenseegebiet dagegen die charakteristische schwäbische Fazies mit tonflaserigen Sandsteinen und sandflaserigen Tonsteinen.

Die Maximalwerte der mittleren Quarzkorngrössen im Dach des «Dogger β», deren Isolinien, soweit bekannt, in groben Zügen parallel zu den Isopachen verlaufen (Fig. 11), können zusammen mit der Fazies- und der Mächtigkeitsverteilung zur Interpretation der Herkunft des Sandes herangezogen wer-

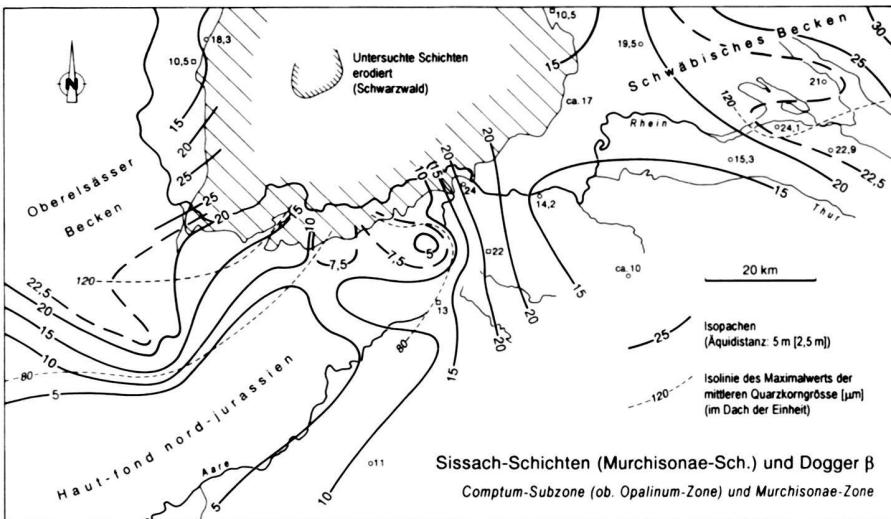


Fig. 11. Isopachenkarte des «Dogger β», der Sissach- und der Murchisonae-Schichten. Zusätzlich dargestellt sind – soweit bekannt – die Isolinien des Maximalwerts der mittleren Quarzkorngrösse [μm] am Top der Einheit.

den. Einschränkend wirkt sich allerdings aus, dass das Dach des sandigen, d.h. nichtkondensierten Teils des «Dogger β» nicht überall gleich alt ist (Fig. 10).

Dennoch kann, zusammen mit dem aus der palynologischen Untersuchung gewonnenen Resultat der starken terrigenen Beeinflussung aus östlicher bis nordöstlicher Richtung, davon ausgegangen werden, dass der Sand im Gebiet östlich des «Haut-fond nord-jurassien» via Transport durch küstenparallele, d.h. NE-SW verlaufende Strömungen (vgl. Sanns & Schweizer 1987) aus dieser Richtung vom Vindelizischen Rücken her stammt. Das südlich des Untersuchungsgebietes gelegene Alemannische Land dürfte aufgrund seiner geringen Fläche und des wahrscheinlich flachen Reliefs nur wenig terrigenen Detritus geliefert haben (Burkhalter 1996). Nicht bekannt ist, ob – und falls ja in welcher Form – im aufschlussarmen Gebiet zwischen der Lägeren und der Bohrung Herdern weitere Sandkalk- bzw. Sandsteineinschaltungen auftreten, oder ob es sich bei der Sandkalkfazies am Ostrand des «Haut-fond nord-jurassien» um ein isoliertes Vorkommen handelt (vgl. Naef & Birkhäuser 1996).

Der Sand im Oberelsässer Becken dürfte hingegen aus nördlicher bis nordwestlicher Richtung von der Rheinischen Masse oder von möglichen Auftauchbereichen im Gebiet der Vogesen her stammen und durch küstenparallele, hier N-S verlaufende Strömungen (s.a. Angaben in Ernst 1990 für das südliche Oberrheingebiet) bis zum recht markanten Nordwestrand des «Haut-fond nord-jurassien» (Fig. 11) verfrachtet worden sein (s. paläogeographische Karte in Burkhalter 1996).

Verdankungen

Wir danken herzlich Prof. A. Matter, Bern, für die logistische Unterstützung, den beiden Reviewern, Dr. P. Hochuli und Dr. W. Etter, Zürich, für ihre Kritik und Anregungen, Prof. H. Rieber, Zürich, für die Bestimmung des Ammoniten.

Prof. A. Wetzel, Basel, für die Bestimmung von Spurenfossilien, Dr. M. Franz, Geologisches Landesamt Baden-Württemberg, für die Beschaffung von Literatur, A. Werthemann, Bern, für die Fotografien, P. Hayoz, Bern, für die grafische Nachbearbeitung der Range-Charts sowie der SEAG Aktiengesellschaft für Schweiz. Erdöl, St. Gallen, für die Bewilligung zur Publikation der Bohrresultate.

LITERATURVERZEICHNIS

- ALDINGER, H. 1953: Die Herkunft der sandigen Ablagerungen im schwäbischen Lias und Dogger. *N. Jb. Geol. Paläont., Abh.* 97, 220–240.
- 1968: Die Palaeogeographie des schwäbischen Jurabeckens. *Eclogae geol. Helv.* 61, 167–182.
- ALLIA, V. 1996: Sedimentologie und Ablagerungsgeschichte des Opalinustons in der Nordschweiz. *Diss. Univ. Basel.*
- ALLIA, V. & WETZEL, A. 1995: Sedimentology of shallow marine muds – an example from the Middle Jurassic (Jura mountains, northern Switzerland). *Terra Abstr.* 1/7, 263.
- BADER, F. 1925: Beiträge zur Geologie des nordöstlichen Tafeljura zwischen Aare und Rhein. *Diss. Univ. Zürich.*
- BAYER, A., BERNOLLI, D., BREITSCHMID, A., FUNK, H., GIGON, W.O., GYGI, R.A., HERB, R., MATTER, A., MOHLER, H.-P., REMANE, J. & WINKLER, W. 1983: Bericht über die Jubiläumsexkursion «Der Faziesbegriff und die Sedimentationsprozesse» der Schweizerischen Geologischen Gesellschaft vom 12. bis 17. September 1982. *Eclogae geol. Helv.* 76, 125–180.
- BAYER, U., ALTHEIMER, E. & DEUTSCHE, W. 1985: Environmental evolution in shallow epicontinental seas: sedimentary cycles and bed formation. In: *Sedimentary and evolutionary cycles*. (Ed. by BAYER, U. & SEILACHER, A.). *Lecture Notes in Earth Sciences* 1, 347–381.
- BAYER, U. & MCGHEE, G.R. 1984: Iterative evolution of Middle Jurassic ammonite faunas. *Lethaia* 17, 1–16.
- 1985: Evolution in marginal epicontinental basins: The role of phylogenetic and ecological factors (ammonite replacements in the German Lower and Middle Jurassic). In: *Sedimentary and evolutionary cycles*. (Ed. by BAYER, U. & SEILACHER, A.). *Lecture Notes in Earth Sciences* 1, 164–220.
- BLÄSI, H.-R. 1987: Lithostratigraphie und Korrelation der Doggersedimente in den Bohrungen Weiach, Riniken und Schafisheim. *Eclogae geol. Helv.* 80, 415–430.

- BLOOS, G. 1976: Untersuchungen über Bau und Entstehung der feinkörnigen Sandsteine des Schwarzen Jura α (Hettangium u. tiefstes Sinemurium) im schwäbischen Sedimentationsbereich. Arb. Inst. Geol. Paläont. Univ. Stuttgart [N.F.] 71, 1–269.
- BROMLEY, R.G. 1990: Trace fossils: biology and taphonomy. Special topics in paleontology 3. Unwin Hyman, London.
- BUCHI, U.P. 1971: Die schweizerische Erdölfrage im Jahre 1970. Bull. Ver. schweiz. Petroleum-Geol. u. -Ing. 38/93, 7–16.
- 1982: Die schweizerische Erdölfrage 1981. Bull. Ver. schweiz. Petroleum-Geol. u. -Ing. 48/115, 13–21.
- BUCHI, U.P., LEMCKE, K., WIENER, G. & ZIMDARS, J. 1965: Geologische Ergebnisse der Erdölexploration auf das Mesozoikum im Untergrund des schweizerischen Molassebeckens. Bull. Ver. schweiz. Petroleum-Geol. u. -Ing. 32/82, 7–38.
- BURKHALTER, R.M. 1993: Die Passwang-Alloformation (unteres Aalénien bis unteres Bajocien) im zentralen und nördlichen Jura – Sequenzstratigraphie, synsedimentäre Tektonik, Genese von Eisenoolithen und -stromatolithen. Diss. Univ. Bern.
- 1995: Ooidal ironstones and ferruginous microbialites: origin and relation to sequence stratigraphy (Aalenian and Bajocian, Swiss Jura mountains). *Sedimentology* 42, 57–74.
 - 1996: Die Passwang-Alloformation (unteres Aalénien bis unteres Bajocien) im zentralen und nördlichen Schweizer Jura. *Elogae geol. Helv.* 89, 875–934.
- BURKHALTER, R.M. & HARTMANN, B. 1994: Der «Dogger β»-Sandstein der Bohrung Herdern-I. Nagra intern. Ber.
- CONTINI, D. 1967: Paléogéographie de la moitié sud du Fossé rhénan au Dogger. The Rhinegraben progress report 1967, 44–48.
- 1970: L'Aalénien et le Bajocien du Jura franc-comtois. Ann. sci. Univ. Besançon (3), 11, 1–204.
- EINSELE, G. 1985: Response of sediments to sea-level changes in differing subsiding storm-dominated marginal and epeiric basins. In: *Sedimentary and evolutionary cycles*. (Ed. by BAYER, U. & SEILACHER, A.). Lecture Notes in Earth Sciences 1, 68–97.
- 1992: *Sedimentary basins: evolution, facies, and sediment budget*. Springer, Berlin.
- EINSELE, G. & BAYER, U. 1991: Asymmetry in transgressive-regressive cycles in shallow seas and passive continental margin settings. In: *Cycles and events in stratigraphy*. (Ed. by EINSELE, G., RICKEN, W. & SEILACHER, A.). Springer, Berlin, 660–681.
- ERB, L. 1958: Geologische Ergebnisse von drei Bohrungen auf Eisenerz im Hegau. Mitt. bad. Landesverw. Naturk. Naturschutz [N.F.] 7/2, 105–111.
- ERNST, M. 1989: Das Mesozoikum der Vorbergzone auf Blatt Kandern/Südbaden (TK 8211): Kartierung, Stratigraphie und Paläogeographie unter besonderer Berücksichtigung der Fazies des Braunjura, speziell des Hauptrogenstein. Diss. Univ. Freiburg i. Br.
- 1990: Stratigraphie und Fazies des Brauner Juras im südlichen Oberrheingebiet (Blatt Kandern). Jh. geol. Landesamt Bad.-Württemb. 32, 93–157.
- FEIST-BURKHARDT, S. 1990: Dinoflagellate cyst assemblages of the Hauses coreholes (Aalenian to early Bajocian), southwest Germany. Bull. Cent. Rech. Explor. Prod. Elf Aquitaine 14/2, 611–633.
- 1992: Palynological investigations in the Lower and Middle Jurassic of Switzerland, France and Germany: Palynofacies, and type of organic matter; dinoflagellate cyst morphology and stratigraphy. Thèse de Doctorat No. 2577, Dépt. Géol. Paléont., Univ. Genève.
- FEIST-BURKHARDT, S. & WILLE, W. 1992: Jurassic palynology in southwest Germany – state of the art. Cah. Micropaléont. 7/1–2, 141–164.
- FISCHER, H. & LUTERBACHER, H. 1963: Das Mesozoikum der Bohrungen Courtion 1 und Altishofen 1. Beitr. geol. Karte Schweiz [N.F.] 115.
- FOLK, R.L. 1974: Petrology of sedimentary rocks. Hemphill, Austin.
- FRANZ, M. 1986: Vergleichende Ökologie und Fazies der Oolithhorizonte im Bajocium Südwestdeutschlands. Diss. Univ. Heidelberg.
- GENSER, H. 1966: Schichtenfolge und Stratigraphie des Doggers in den drei Faziesbereichen der Umrandung des Südschwarzwaldes (Bad. Oberrhein Gebiet – Schweizer Tafeljura, Klettgau, Wutachgebiet). Oberrh. geol. Abh. 15, 1–60.
- GEOLOGISCHES LANDESAMT BADEN-WÜRTTEMBERG 1995: Symbolschlüssel Geologie (Teil I) und Bodenkunde Baden-Württemberg. Informationen (geol. Landesamt Bad.-Württ.) 5.
- GEYER, O.F. & GWINNER, M.P. 1986: Geologie von Baden-Württemberg. 3. Aufl. Schweizerbart, Stuttgart.
- GONZALEZ, R. 1993: Die Hauptrogenstein-Formation der Nordwestschweiz (mittleres Bajocien bis unteres Bathonien). Diss. Univ. Basel.
- HAHN, W. 1971: Der Jura. In: *Die Wutach*. (Hrsg. v. SAUER, K.F.J. & SCHNEIDER, M.). Mitt. Bad. Landesverw. Naturk. Naturschutz, Freiburg i. Br.
- HAUBER, L. 1961: Die schweizerische Erdölfrage im Jahre 1960. Bull. Ver. schweiz. Petroleum-Geol. u. -Ing. 27/73, 1–6.
- HOFMANN, F. 1981: Erläuterungen zu Blatt 1031 Neunkirch (Atlasblatt 74). Geol. Atlas Schweiz 1 : 25 000. Schweiz. geol. Komm.
- HOMWOOD, P., GUILLOCHEAU, F., ESCARD, R. & CROSS, T.A. 1992: Corrélation haute résolution et stratigraphie génétique: une démarche intégrée. Bull. Cent. Rech. Explor. Prod. Elf Aquitaine 16/2, 357–381.
- JACKLI, H. 1966: Erläuterungen zu Blatt 1090 Wohlen (Atlasblatt 50). Geol. Atlas Schweiz 1 : 25 000. Schweiz. geol. Komm.
- KAMPF, C. 1984: Tiefbohrungen in Baden-Württemberg und umgebenden Ländern. Arb. Inst. Geol. Paläont. Univ. Stuttgart [N.F.] 80.
- LAUBSCHER, H.P. 1965: Ein kinematisches Modell der Jurafaltung. *Elogae geol. Helv.* 58, 231–318.
- LEMCKE, K. & WAGNER, R. 1961: Zur Kenntnis des vortertiären Untergrundes im Bodenseegebiet. Bull. Ver. schweiz. Petroleum-Geol. u. -Ing. 27/73, 9–14.
- LENTIN, J.K. & WILLIAMS, G.L. 1993: Fossil dinoflagellates: Index to genera and species. 1993 edition. Contr. Ser. amer. Assoc. stratigr. Palynologists 28.
- MATTER, A., PETERS, T., BLASI, H.-R., MEYER, J., ISCHI, H. & MEYER, C. 1988a: Sondierbohrung Weiach. Geologie. Geol. Ber. Landeshydr. u. -geol. 6.
- MATTER, A., PETERS, T., ISENNSCHIMID, C., BLASI, H.-R., ZIEGLER, H.-J. 1988b: Sondierbohrung Riniken. Geologie. Geol. Ber. Landeshydr. u. -geol. 5.
- MIAILL, A.D. 1997: *The geology of stratigraphic sequences*. Springer, Berlin.
- MITCHUM, R.C. & VAN WAGONER, J.C. 1991: Parasquences and high frequency sequences in well logs, core, and outcrops. In: *Seismic stratigraphy – applications to hydrocarbon exploration* (Ed. by PAYTON, C.E.). Mem. amer. Assoc. Petroleum Geol. 26, 205–212.
- NAEF, H. & BIRKHAUSER, P. 1996: Reflexionsseismik zur Erkundigung des Opalinustons in der Nordschweiz. Bull. angew. Geol. 2/1, 113–134.
- PARTINGTON, M.A., COPESTAKE, P., MITCHENER, B.C. & UNDERHILL, J.R. 1993: Biostratigraphic calibration of genetic stratigraphic sequences in the Jurassic – lowermost Cretaceous (Hettangian to Ryazanian) of the North Sea and adjacent areas. In: *Petroleum geology of northwest Europe*. (Ed. by PARKER, J.R.). Proc. 4th Conf., geol. Soc., London, 371–386.
- PITTET, B. 1994: Modèle d'estimation de la subsidence et des variations du niveau marin: Un exemple de l'Oxfordien du Jura suisse. *Elogae geol. Helv.* 87, 513–543.
- RIDING, J.B. 1984: A palynological investigation of Toarcian and early Aalenian strata from the Blea Wyke area, Ravenscar, North Yorkshire. Proc. Yorkshire geol. Soc. 45, 109–122.
- RIDING, J.B. & THOMAS, J.E. 1992: Dinoflagellate cysts of the Jurassic System. In: *A stratigraphic index of dinoflagellate cysts*. (Ed. by POWELL, A.J.). Chapman & Hall, London, 7–57.
- ROGOWSKI, E. 1971: Sedimentpetrographische Untersuchungen in den Dogger-beta-Sandsteinen (Oberes Aalenium) der östlichen Schwäbischen Alb. Arb. Inst. Geol. Paläont. Univ. Stuttgart [N.F.] 65.
- SANNS, M. & SCHWEIZER, V. 1987: Zur Fazies und Genese des Ober-Aalenium (Braunjura β) der südwestlichen Schwäbischen Alb. Jh. geol. Landesamt Bad.-Württemb. 29, 125–143.
- SCHNEIDER, J. 1962: Der Jura in Erdölbohrungen des westlichen Molassetrages. Hermann-Aldinger-Festschrift, Stuttgart, 163–172.
- SENFILEBEN, G. 1923: Beiträge zur geologischen Erkenntnis der West-Lägern und ihrer Umgebung. Diss. Univ. Zürich.
- SPEARS, D.A. 1989: Aspects of iron incorporation into sediments with special reference to the Yorkshire Ironstones. In: *Phanerozoic ironstones*. (Ed. by YOUNG, T.P. & TAYLOR, W.E.G.). Spec. Publ. geol. Soc. London 46, 19–30.

- STRASSER, A., PASQUIER, J.-B. & PITTEL, B. 1996: High-resolution sequence stratigraphy combined with cyclostratigraphy: a powerful tool in stratigraphic correlation. Abstr. 4th meeting of Swiss sedimentologists, Fribourg, 27.1.1996, 24.
- SWIFT, D.J.P., PHILLIPS, S. & THORNE, J.A. 1991: Sedimentation on continental margins, IV: lithofacies and depositional systems. In: Shelf sand and sandstone bodies. (Ed. by SWIFT, D.J.P., OERTEL, G.F., TILLMAN, R.W. & THORNE, J.A.) Spec. Publ. int. Assoc. Sedimentol. 14, 89–152.
- TRUMPY, R. 1959: Hypothesen über die Ausbildung von Trias, Lias und Dogger im Untergrund des schweizerischen Molassebeckens. Eclogae geol. Helv. 52, 435–448.
- UCHMAN, A. & KRENMAYR, H.G. 1995: Trace fossils from Lower Miocene (Ottomanian) molasse deposits of Upper Austria. Paläont. Z. 69, 503–524.
- VAN WAGONER, J.C., MITCHUM, R.C., CAMPION, K.M. & RAHMANIAN, V.D. 1990: Siliciclastic sequence stratigraphy in well logs, cores, and outcrops: Concepts for high-resolution correlation of time and facies. Amer. assoc. Petroleum. Geol., Methods in Explor. Ser. 7.
- VAN WAGONER, J.C., POSAMENTIER, H.W., MITCHUM, R.C., VAIL, P.R., SARG, J.F., LOUITT, T.S. & HARDENBOL, J. 1988: An overview of the fundamentals of sequence stratigraphy and key definitions. In: Sea-level changes – an integrated approach. (Ed. by WILGUS, C.K., HASTINGS, B.S., KENDALL,
- C.G.ST.C., POSAMENTIER, H.W., ROSS, C.A. & VAN WAGONER, J.C.) Spec. Publ. Soc. econ. Paleont. Mineral. 42, 39–45.
- WEBER, H.-S. 1964: Zur Stratigraphie und Ammonitenfauna des Braunjura (Dogger) β der östlichen Schwäbischen Alb. Arb. Inst. Geol. Paläont. Univ. Stuttgart [N.F.] 44.
- WERNER, F. 1959: Zur Kenntnis der Eisenoolithfazies des Braunjura β von Ostwürttemberg. Arb. Inst. Geol. Paläont. Univ. Stuttgart [N.F.] 23.
- WETZEL, A. & ALLIA, V. 1996: Der Ablagerungsraum des Opalinustons – eine sedimentologische Analyse. Informationen (geol. Landesamt Bad-Württ.) 8, 20–24.
- WETZEL, A. & BROMLEY, R.G. 1994: *Phycosiphon incertum* revisited: *Anconichnus horizontalis* is its junior subjective synonym. J. Paleont. 68, 1396–1402.
- WILD, H. 1951: Zur Bildungsgeschichte der Braunjura-beta-Flöze und ihrer Begleitgesteine in NO-Württemberg. Geol. Jb. 65, 271–298.
- WILLE, W. 1982: Evolution and ecology of Upper Liassic dinoflagellates from SW-Germany. N. Jb. Geol. Paläont. [Abh.] 164, 74–82.

Manuskript eingegangen 31. Januar 1997
Revidierte Fassung angenommen 16. Mai 1997

